

COMMITTENTE



PROGETTAZIONE:



**INFRASTRUTTURE FERROVIARIE STRATEGICHE DEFINITE DALLA LEGGE
OBIETTIVO N. 443/01**

U.O. INFRASTRUTTURE SUD

PROGETTO DEFINITIVO

LINEA PESCARA - BARI

RADDOPPIO TRATTA FERROVIARIA TERMOLI - LESINA

LOTTI 2 e 3 – RADDOPPIO TERMOLI - RIPALTA

Opere d'arte maggiore – Ponti e Viadotti Ferroviari

VI13 - Ponte dal km 21+573,50 a km 21+589,50

Relazione di calcolo Spalla S2

SCALA:



COMMESSA LOTTO FASE ENTE TIPO DOC. OPERA/DISCIPLINA PROGR. REV.

L I 0 2 0 2 D 7 8 C L V I 1 3 0 4 0 0 2 A

Rev.	Descrizione	Redatto	Data	Verificato	Data	Approvato	Data	Autorizzato Data
A	EMISSIONE ESECUTIVA	M.Piscitelli	Maggio 2019	G. Giustino	Maggio 2019	B.M. Bianchi	Maggio 2019	D. Tiberti Maggio 2019

File: LI0202D78CLV11304002A.doc

n. Elab.:

ITALERR S.p.A.
Gruppo Ferrovie dello Stato
Direzione Generale
UO Infrastrutture Sud
Dott. Ing. Danilo Tiberti
Ordine degli Ingegneri Prov. di Napoli n. 10876

INDICE

1	PREMESSA	4
2	DESCRIZIONE DELL'OPERA	5
2.1	Descrizione della spalla in esame	6
3	CARATTERIZZAZIONE GEOTECNICA	8
3.1	Categoria di sottosuolo	8
3.2	Capacità portante dei pali e stratigrafia di progetto	8
4	DOCUMENTI DI RIFERIMENTO	9
4.1	Documenti Referenziati	9
4.2	Unità di misura	9
5	CARATTERISTICHE DEI MATERIALI	10
5.1	Classi di esposizione e copriferrì	10
5.2	Calcestruzzo pali e plinti di fondazione $R_{ck} > 30$ Mpa (C25/30)	11
5.3	Calcestruzzo parti in elevazione pile e spalle e solettoni $R_{ck} > 40$ Mpa (C32/40)	11
5.4	Acciaio d'armatura B450C	11
6	ANALISI DEI CARICHI	12
6.1	Pesi propri strutturali (G1)	12
6.2	Carichi permanenti portati (G2)	12
6.3	Variazioni termiche (E3)	12
6.4	Azioni variabili verticali (Q1)	12
6.4.1	Azioni da traffico ferroviario	12
6.4.2	Carichi sui marciapiedi	14
6.4.3	Effetti dinamici	14
6.4.4	Contemporaneità dei treni sui binari	14
6.5	Azioni orizzontali da traffico (Qi)	14
6.5.1	Forza centrifuga (Q4)	14
6.5.2	Serpeggio (Q5)	15
6.5.3	Frenatura / Avviamento (Q3)	15
6.6	Azione del vento (Q6)	15
6.6.1	Azione aerodinamica dovuta al traffico ferroviario	20
6.7	Azioni Sismiche (Q7)	21
6.7.1	Vita nominale	22
6.7.2	Classe d'uso	23
6.7.3	Periodo di riferimento	24
6.7.4	Valutazione dei parametri di pericolosità sismica	24
6.7.5	Caratterizzazione sismica del terreno	24
6.7.6	Parametri sismici di calcolo e spettro elastico di risposta	26
6.7.7	Spettri di risposta di progetto	28

6.8	Resistenze Parassite dei vincoli (Q8)	29
6.9	Gruppi di Carico	30
7	COMBINAZIONI DI CARICO	31
8	CRITERI DI VERIFICA	34
8.1	Verifica agli SLU: Pressoflessione e Taglio	34
8.1.1	Verifica a pressoflessione	34
8.1.2	Verifica a taglio	34
8.2	Verifica agli SLE: Limitazione delle Tensioni e Fessurazione	35
8.2.1	Verifica di fessurazione	35
8.2.2	Verifica delle tensioni di esercizio	36
9	MODELLO DI CALCOLO	36
9.1	Condizioni statiche	36
9.2	Condizioni sismiche	38
10	VERIFICA DELLA SPALLA MOBILE S02	39
10.1	MURO FRONTALE	39
10.2	Muro paraghiaia	44
10.3	Muri laterali	45
11	VERIFICA DELLE FONDAZIONI	46
11.1	plinto di fondazione	46
11.2	pali di fondazione	50
11.3	Verifiche di capacità portante	52
11.3.1	Capacità portante Pali Di Gruppo	52
11.4	Capacità portante laterale dei pali di fondazione	53
11.5	Valutazione dei cedimenti in fondazione	54
12	APPOGGI E GIUNTI	55
12.1	Appoggi	55
12.2	Escursione dei giunti	56
13	CONCLUSIONI	58



LINEA PESCARA - BARI
RADDOPPIO TRATTA FERROVIARIA TERMOLI - LESINA
LOTTI 2 e 3 – RADDOPPIO TERMOLI - RIPALTA

VI13 - Ponte dal km 21+573,500 a km 21+589,500:
Relazione di Spalla S2

COMMESSA	LOTTO	CODIFICA	DOCUMENTO	REV.	FOGLIO
LI02	02D78	CL	VI1304002	A	4 di 58

1 PREMESSA

Il presente documento viene emesso nell'ambito della redazione degli elaborati tecnici di progetto definitivo del corpo stradale ferroviario, delle opere d'arte e delle opere interferite relative al raddoppio ferroviario della Linea Bari - Pescara nella tratta Termoli - Ripalta, per uno sviluppo complessivo di 24.930,52 km.

L'opera oggetto delle analisi riportate nei paragrafi seguenti rientra fra quelle inserite nella categoria denominata "OPERE PRINCIPALI – PONTI E VIADOTTI".

Quanto riportato di seguito consentirà di verificare che il dimensionamento delle strutture è stato effettuato nel rispetto dei requisiti di resistenza e deformabilità richiesti all'opera.

2 DESCRIZIONE DELL'OPERA

La presente relazione ha per oggetto l'analisi e la verifica della Spalla S01 che sostiene la campata in c.a.p. da 25 m del viadotto ferroviario denominato VI13, previsto tra le progressive chilometriche 21+573.500 e 21+598.500.

Il viadotto, avente lunghezza complessiva pari a circa 25m è a doppio binario composto da 1 campata in C.A.P da 25 m costituite da quattro travi a cassoncino in c.a.p. preteso. La piattaforma ha una larghezza totale di 13.70 m ed ospita due binari posti ad interasse di 4.0 m.

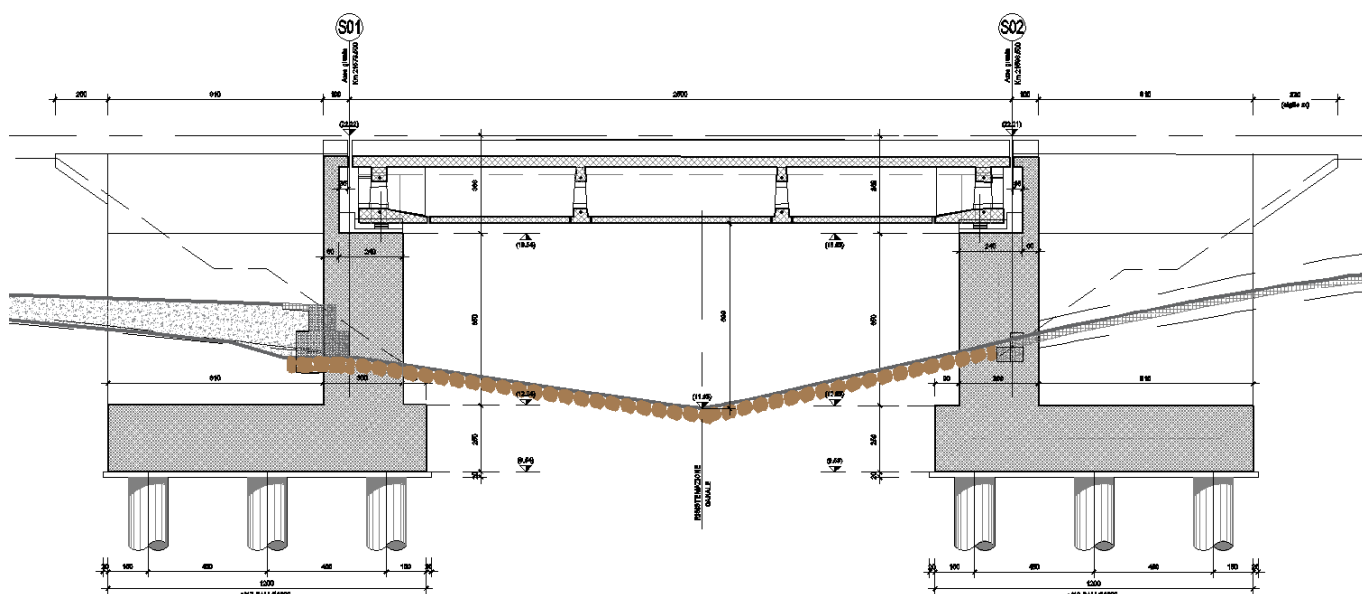


Figura 1 – Profilo longitudinale VI13

Gli impalcati in c.a.p. sono costituiti da quattro cassoncini in c.a.p. preteso hanno altezza pari a 2.10 m ed interasse pari a 2.41 m. Al di sopra dei cassoncini viene realizzata una soletta in calcestruzzo gettata in opera avente spessore variabile da un minimo di 0.30 m ad un massimo di 0.40 m in asse impalcato.

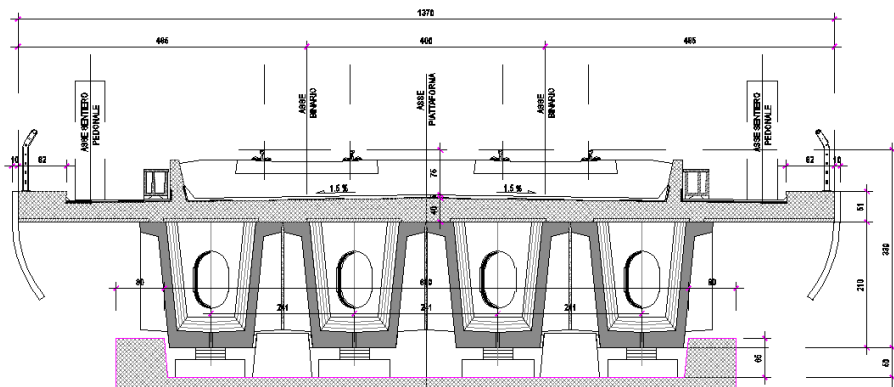


Figura 2 - Sezione trasversale impalcato

Nel presente documento si analizzano alcune delle sottostrutture del viadotto in esame.

WBS	SPALLE	H _{calcolo}	IMPALCATI							SISMA		FONDAZIONE				
			R _{min}	Lato sx	L	App.	Lato dx	L	App.	Zona Sismica	Categoria Sottosuolo	D _{pali}	n _{pali}	Stratig.	Liquefaz.	Scalam.
			[m]		[m]		[m]		[m]		[m]	[m]			[m]	
VI13	S01	7.5	∞	-	-	-	C.a.p.	25	Fisso	S4	B	2	12	1	NO	-
	S02	7.5	∞	C.a.p.	25	Mobile	-	-	-	S4	B	2	12	1	NO	-

Tabella 1 – Sintesi delle spalle del viadotto VI13

Oggetto del presente documento sono quindi le analisi e le verifiche delle spalle, in particolare della spalla S02, relativa all'impalcato in c.a.p.

2.1 DESCRIZIONE DELLA SPALLA IN ESAME

Le sottostrutture consistono in due spalle con fondazioni di tipo profondo su pali. La spalla indicata con “S01” è la spalla fissa mentre quella indicata con “S02” è la spalla mobile. Il presente documento contiene le verifiche strutturali e geotecniche della spalla S02.

Di seguitosi riportano le principali caratteristiche geometriche delle sottostrutture.

SPALLA MOBILE S02

Altezza muro frontale: 6.50 m
Spessore muro frontale: 3.00 m
Altezza muro paraghiaia: 2.90 m
Spessore muro paraghiaia: 0.60 m
Spessore plinto di fondazione: 2.50 m
Lunghezza plinto di fondazione: 12.00 m
Larghezza plinto di fondazione: 16.50 m
Spessori muri laterali: 1.20 m
Pali: 12φ1500, Interasse: 4.50 m, L = 34.0 m

Tabella 2 – Caratteristiche geometriche spalla S02

V113 - Ponte dal km 21+573,500 a km 21+589,500:
Relazione di Spalla S2

COMMESSA	LOTTO	CODIFICA	DOCUMENTO	REV.	FOGLIO
LI02	02D78	CL	V11304002	A	7 di 58

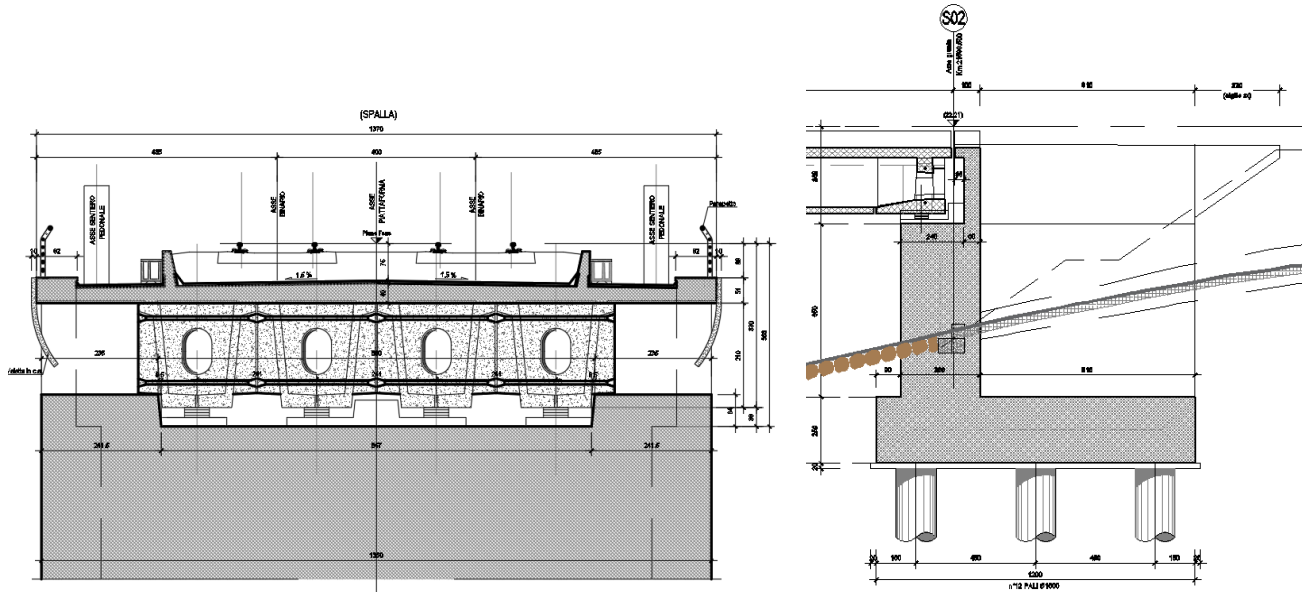


Figura 3 – Sezioni in direzione longitudinale e trasversale

3 CARATTERIZZAZIONE GEOTECNICA

3.1 CATEGORIA DI SOTTOSUOLO

Dalle indagini sismiche (M5) è possibile determinare la categoria di sottosuolo di riferimento per la definizione dell'azione sismica; per l'opera in esame si assume una categoria di sottosuolo B.

3.2 CAPACITÀ PORTANTE DEI PALI E STRATIGRAFIA DI PROGETTO

Nella seguente tabella si riportano la stratigrafia ed i parametri geotecnici principali per il calcolo della capacità portante dei pali dell'opera in esame.

Tabella 3 – Stratigrafia e parametri di calcolo

Unità geotecnica	Profondità [m]	γ [kN/m ³]	ϕ' [°]	cu [kPa]	qb,lim [kPa]
CGC1g	Da 0.0 a 10.0	19.0	39	-	5800
CGC2	Da 10.0 a 14.0	20.0	-	150	-
CGC1g	Da 14.0 a 24.0	19.0	39	-	5800
SSR	Da 24.0 a 30.0	19.5	35	-	5800

La capacità portante per le fondazioni del viadotto è stata valutata per pali di grande diametro D=1500 mm considerando l'Approccio 2 (A1+M1+R3) di normativa e quindi con i seguenti coefficienti parziali sulle resistenze di base e laterale:

- N. 1 verticali di indagine, da cui $\xi_3 = 1.70$,
- F_{SL} = fattore di sicurezza per la portata laterale a compressione ($=\xi_3 \cdot \gamma_s = 1.96$).
- F_{SB} = fattore di sicurezza per la portata di base ($=\xi_3 \cdot \gamma_b = 2.30$).

Quindi per la verifica di capacità portante del palo si dovranno verificare le seguenti due condizioni:

- $N_{max,SLU} < Q_d$, la massima sollecitazione assiale (sia statica, che sismica) allo SLU dovrà essere inferiore alla portata di progetto del palo (riportata nelle seguenti tabelle);
- $N_{max,SLE} < Q_{ll} / 1.25$ la massima sollecitazione assiale allo SLE RARA dovrà essere inferiore alla portata laterale limite del palo (Q_{ll} , riportata nelle seguenti tabelle) con un fattore di sicurezza di 1.25.

Inoltre si è considerato:

- testa palo a 2.5 m di profondità da p.c.;
- falda a 5 m da p.c..

Per ulteriori dettagli si rimanda alla relazione geotecnica.



LINEA PESCARA - BARI
RADDOPPIO TRATTA FERROVIARIA TERMOLI - LESINA
LOTTI 2 e 3 – RADDOPPIO TERMOLI - RIPALTA

VI13 - Ponte dal km 21+573,500 a km 21+589,500:
Relazione di Spalla S2

COMMESSA	LOTTO	CODIFICA	DOCUMENTO	REV.	FOGLIO
LI02	02D78	CL	VI1304002	A	9 di 58

4 DOCUMENTI DI RIFERIMENTO

4.1 DOCUMENTI REFERENZIATI

Di seguito si riporta l'elenco generale delle Normative Nazionali ed internazionali vigenti alla data di redazione del presente documento, quale riferimento per la redazione degli elaborati tecnici e/o di calcolo dell'intero progetto nell'ambito della quale si inserisce l'opera oggetto della presente relazione:

- [N.1]. L. n. 64 del 2/2/1974 "Provvedimento per le costruzioni con particolari prescrizioni per le zone sismiche".
- [N.2]. L. n. 1086 del 5/11/1971 "Norme per la disciplina delle opere di conglomerato cementizio armato, normale e precompresso ed a struttura metallica".
- [N.3]. Norme Tecniche per le Costruzioni - D.M. 14-01-08 (NTC-2008);
- [N.4]. Circolare n. 617 del 2 febbraio 2009 - Istruzioni per l'Applicazione Nuove Norme Tecniche Costruzioni di cui al Decreto Ministeriale 14 gennaio 2008;
- [N.5]. Regolamento (UE) N.1299/2014 del 18 novembre 2014 della Commissione Europea. Relativo alle specifiche tecniche di interoperabilità per il sottosistema "infrastruttura" del sistema ferroviario dell'Unione Europea.
- [N.6]. Eurocodici EN 1991-2: 2003/AC:2010.
- [N.7]. RFI DTC SI MA IFS 001 B del 22-12-17 - Manuale di Progettazione delle Opere Civili.
- [N.8]. RFI DTC SI SP IFS 001 C – Capitolato generale tecnico di Appalto delle opere civili.
- [N.9]. CNR-DT207/2008 Istruzioni per la valutazione delle azioni e degli effetti del vento sulle costruzioni.
- [N.10]. UNI 11104: Calcestruzzo: Specificazione, prestazione, produzione e conformità - Istruzioni complementari per l'applicazione della EN 206-1

4.2 UNITÀ DI MISURA

Le unità di misura usate nella relazione:

lunghezze [m]; forze [kN]; momenti [kNm] tensioni [Mpa]

5 CARATTERISTICHE DEI MATERIALI

5.1 CLASSI DI ESPOSIZIONE E COPRIFERRI

Con riferimento alle specifiche di cui alla norma UNI EN 206-2004 e UNI 11104 2016, si definiscono di seguito le classi di esposizione del calcestruzzo delle diverse parti della struttura oggetto dei dimensionamenti di cui al presente documento:

- Pile e spalle: XC4;
- Plinti e pali di fondazione: XC2;

La determinazione delle classi di resistenza dei conglomerati dei conglomerati, di cui ai successivi paragrafi, sono state inoltre determinate tenendo conto delle classi minime stabilite dalla stessa norma.

I copriferri di progetto adottati per le barre di armatura, tengono infine conto inoltre delle prescrizioni di cui alla Tabella C4.1.IV della Circolare n617 del 02-02-09; si è in particolare previsto di adottare i seguenti Copriferri minimi espressi in mm

- Pile e spalle: 50 mm
- Plinti di fondazione: 40 mm
- Pali di fondazione: 60 mm

In termini di limiti di apertura delle fessure, alle prescrizioni normative presenti nelle NTC si sostituiscono in tal caso quelle fornite dal documento RFI DTC SICS MA IFS 001 B – 2.5.1.8.3.2.4 secondo cui la verifica nei confronti dello stato limite di apertura delle fessure va effettuata utilizzando le sollecitazioni derivanti dalla combinazione caratteristica (rara).

L'apertura convenzionale delle fessure dovrà risultare:

- $\delta_f \leq w_1 = 0.2 \text{ mm}$ per tutte le strutture in condizioni ambientali aggressive o molto aggressive (così come identificate nel par. 4.1.2.2.4.3 del DM 14.1.2008), per tutte le strutture a permanente contatto con il terreno e per le zone non ispezionabili di tutte le strutture;
- $\delta_f \leq w_2 = 0.3 \text{ mm}$ per strutture in condizioni ambientali ordinarie.

In definitiva, nel caso in esame, si adotta il limite w_1 sia per pile e spalle che per pali e plinti in quanto i primi ricadono in condizioni ambientali aggressive (classe XC4), mentre i secondi sono elementi a permanente contatto con il terreno.

5.2 CALCESTRUZZO PALI E PLINTI DI FONDAZIONE $R_{ck} > 30$ MPA (C25/30)

- | | |
|--|--|
| ▪ $R_{ck} = 30$ MPA | resistenza caratteristica cubica a 28 giorni |
| ▪ $f_{ck} = 25$ MPA | resistenza caratteristica cilindrica a 28 giorni |
| ▪ $f_{cm} = f_{ck} + 8 = 33$ MPA | resistenza cilindrica valore medio |
| ▪ $f_{ctm} = 0.30 \cdot f_{ck}^{2/3} = 2.56$ MPA | resistenza media a trazione semplice (assiale) |
| ▪ $f_{ctk} = 0.7 \cdot f_{ctm} = 1.80$ MPA | resistenza caratteristica a trazione |
| ▪ $E_{cm} = 22000 [f_{cm}/10]^{0.3} = 31476$ MPA | modulo elastico |
| ▪ $\gamma = 25.0$ kN/m ³ | peso per unità di volume |

Resistenze di progetto allo SLU

- | | |
|---|---------------------------------------|
| ▪ $f_{cd} = 0.85 \cdot f_{ck} / \gamma_c = 14.2$ MPA; $\gamma_c = 1.50$ | resistenza di progetto a compressione |
| ▪ $f_{ctd} = f_{ctk} / \gamma_c = 1.20$ MPA | resistenza di progetto a trazione |

Resistenze di progetto allo SLE

- | | |
|---|---|
| ▪ $\sigma_{c,r} = 0.55 \cdot f_{ck} = 13.8$ MPA | tensione limite in combinazione caratteristica (rara) |
| ▪ $\sigma_{c,f} = 0.40 \cdot f_{ck} = 10.0$ MPA | tensione limite in combinazione quasi permanente |
| ▪ $\sigma_t = f_{ctm} / 1.2 = 2.13$ MPA | tensione limite di fessurazione (trazione) |

5.3 CALCESTRUZZO PARTI IN ELEVAZIONE PILE E SPALLE E SOLETTONI $R_{ck} > 40$ MPA (C32/40)

- | | |
|--|--|
| ▪ $R_{ck} = 40$ MPA | resistenza caratteristica cubica a 28 giorni |
| ▪ $f_{ck} = 32$ MPA | resistenza caratteristica cilindrica a 28 giorni |
| ▪ $f_{cm} = f_{ck} + 8 = 40$ MPA | resistenza cilindrica valore medio |
| ▪ $f_{ctm} = 0.30 \cdot f_{ck}^{2/3} = 3.02$ MPA | resistenza media a trazione semplice (assiale) |
| ▪ $f_{ctk} = 0.7 \cdot f_{ctm} = 2.12$ MPA | resistenza caratteristica a trazione |
| ▪ $E_{cm} = 22000 [f_{cm}/10]^{0.3} = 33346$ MPA | modulo elastico |
| ▪ $\gamma = 25.0$ kN/m ³ | peso per unità di volume |

Resistenze di progetto allo SLU

- | | |
|---|---------------------------------------|
| ▪ $f_{cd} = 0.85 \cdot f_{ck} / \gamma_c = 18.1$ MPA; $\gamma_c = 1.50$ | resistenza di progetto a compressione |
| ▪ $f_{ctd} = f_{ctk} / \gamma_c = 1.69$ MPA | resistenza di progetto a trazione |

Resistenze di progetto allo SLE

- | | |
|---|---|
| ▪ $\sigma_{c,r} = 0.55 \cdot f_{ck} = 17.6$ MPA | tensione limite in combinazione caratteristica (rara) |
| ▪ $\sigma_{c,f} = 0.40 \cdot f_{ck} = 12.8$ MPA | tensione limite in combinazione quasi permanente |
| ▪ $\sigma_t = f_{ctm} / 1.2 = 2.52$ MPA | tensione limite di fessurazione (trazione) |

5.4 ACCIAIO D'ARMATURA B450C

- | | |
|----------------------|--|
| ▪ $f_{yk} = 450$ MPA | resistenza caratteristica di snervamento |
| ▪ $f_{tk} = 540$ MPA | resistenza caratteristica a rottura |
| ▪ $E_s = 210000$ MPA | modulo elastico |

Resistenza di progetto allo SLU

- | | |
|--|---------------------------------------|
| ▪ $f_{yd} = f_{yk} / \gamma_s = 391$ MPA ; $\gamma_s = 1.15$ | resistenza di progetto a compressione |
|--|---------------------------------------|

Resistenza di progetto allo SLE

- | | |
|--|---|
| ▪ $\sigma_{s,r} = 0.75 \cdot f_{yk} = 337.5$ MPA | tensione limite in combinazione caratteristica (rara) |
|--|---|

6 ANALISI DEI CARICHI

Si riporta di seguito l'analisi dei carichi che caratterizzano le campate connesse alla spalla in esame. Le azioni derivanti da tale analisi sono state applicate su un modello di calcolo ad elementi finiti realizzato con il software *Midas Civil 2016* rappresentante l'impalcato, dalla quale sono state ricavati successivamente gli scarichi verticali ed orizzontali sugli appoggi fissi e mobili in modo da ottenere le azioni nella sezione di sommità della spalla. Si rimanda alla relazione tecnica relativa all'impalcato per maggiori dettagli.

6.1 PESI PROPRI STRUTTURALI (G1)

Il peso della soletta in calcestruzzo, delle travi in c.a.p. e dei traversi è calcolato in automatico dal programma di calcolo, assegnando ai singoli elementi l'effettiva sezione trasversale ed un peso per unità di volume del calcestruzzo pari a 25 kN/m³.

6.2 CARICHI PERMANENTI PORTATI (G2)

Di seguito si riporta una sintesi dei carichi permanenti portati dall'impalcato.

Elemento	L	s	γ	G
Ballast + armamento + impermeabilizzazione	8.2	0.8	20	131.2 kN/m
Muretti paraballast + canalette porta cavi + impianti	0.72	25	-	18 kN/m
Velette in cls (n°2)	2	0.26	25	13 kN/m
Barriere antirumore (n°2)	2	4	4	32 kN/m

Pertanto il valore complessivo al metro lineare dei carichi G2 è pari a 194.2 kN/m

6.3 VARIAZIONI TERMICHE (E3)

Ai fini della valutazione delle escursioni dei giunti e degli appoggi mobili si considera una variazione termica uniforme pari a ± 15 °C, incrementata del 50%, ovvero una variazione termica uniforme pari a ± 22.5 °C.

6.4 AZIONI VARIABILI VERTICALI (Q1)

6.4.1 Azioni da traffico ferroviario

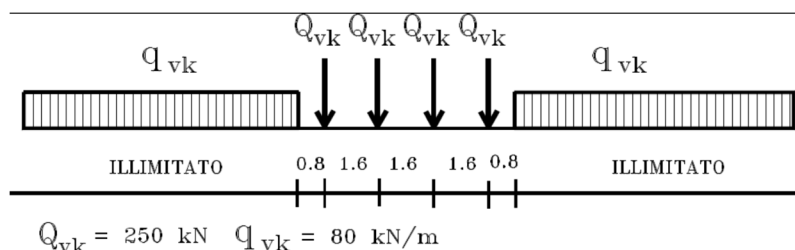
Sono stati considerati i modelli di carico di normativa (LM71; SW2/; SW/0). I valori caratteristici di tali carichi sono stati poi moltiplicati per i relativi coefficienti di adattamento " α ", desunti dalla seguente tabella (RFI DTC SICS MA IFS 001 B - Tabella 2.5.1.4.1-1)

MODELLO CARICO	DI	COEFFICIENTE " α "
LM71		1.1
SW/0		1.1
SW/2		1.0

Modello di carico LM71

Questo treno di carico schematizza gli effetti statici prodotti dal traffico ferroviario pesante e, come mostrato nella figura seguente, risulta costituito da:

- quattro assi da 250 kN disposti ad interasse di 1,60 m;
- carico distribuito di 80 kN/m in entrambe le direzioni, a partire da 0,8 m dagli assi d'estremità e per una lunghezza illimitata.



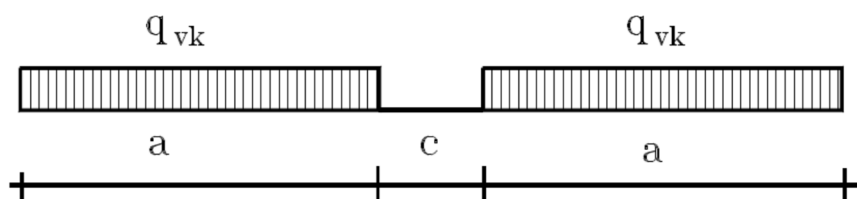
Per questo modello di carico è prevista un'eccentricità del carico rispetto all'asse del binario, dipendente dallo scartamento s . Tale eccentricità risulta pari a:

$$\pm s/18 = 0.08 \text{ m}$$

con scartamento $s = 1.435 \text{ m}$.

Treno di carico SW

Tale carico schematizza gli effetti statici prodotti dal traffico ferroviario pesante. L'articolazione del carico è mostrata nella figura seguente e, per tale modello di carico sono considerate due distinte configurazioni, denominate SW/0 e SW/2.



Tipo di Carico	q_{vk} [kN/m]	a [m]	c [m]
SW/0	133	15,0	5,3
SW/2	150	25,0	7,0

Poiché il treno di carico SW/0 è da utilizzarsi "solo per le travi continue qualora più sfavorevole dell'LM71" nel seguito si fa riferimento al solo tipo SW/2.

Treno scarico (Q2)

E' rappresentato da un carico uniformemente distribuito pari a 10.0 kN/m.

Ripartizione dei carichi

A vantaggio di sicurezza, si trascurano le ripartizioni dei carichi in direzione longitudinale e trasversale.

6.4.2 Carichi sui marciapiedi

Si utilizza un carico pari a 10 kN/m², sui due marciapiedi di larghezza pari a 1.30 m, con relative eccentricità rispetto all'asse impalcato. In accordo al punto 5.2.2.3.2, il carico non deve considerarsi contemporaneo al transito dei convogli ferroviari e viene quindi utilizzato per le verifiche locali della soletta di impalcato.

6.4.3 Effetti dinamici

Trattandosi di ponte con velocità di percorrenza non superiore a 200 Km/h con frequenza propria della struttura ricadente all'interno del prospetto indicato in figura 5.2.7 del D.M. 14/01/2008, si utilizzano i valori dei coefficienti dinamici definiti al paragrafo 5.2.2.3.3 D.M. 14/01/2008 per linee con ridotto standard manutentivo. Nel caso in esame il coefficiente è unitario poiché si sta studiando il comportamento di una spalla con snellezza $\lambda \leq 30$.

6.4.4 Contemporaneità dei treni sui binari

La contemporaneità dei treni sui due binari, con riferimento sia al traffico normale che a quello pesante, è stata considerata secondo lo schema in tabella.

Numero di binari	Binari Carichi	Traffico Normale	Traffico Pesante
2	Primo	1.0 x LM71	1.0 x SW2
	Secondo	1.0 x LM71	1.0 x LM71

6.5 AZIONI ORIZZONTALI DA TRAFFICO (Q1)

6.5.1 Forza centrifuga (Q4)

Nei ponti ferroviari al di sopra dei quali il binario presenta un tracciato in curva deve essere considerata la forza centrifuga agente su tutta l'estensione del tratto in curva. La forza centrifuga si considera agente verso l'esterno della curva, in direzione orizzontale ed applicata alla quota di 1.80 m al di sopra del P.F..

Le forze centrifughe sono valutate in accordo al par. 2.5.1.4.3.1 del "Manuale di progettazione delle opere civili parte II - sezione 2- ponti e strutture: RFI DTC SI PS MA IFS 001 B".

Il valore caratteristico della forza centrifuga si determinerà in accordo con la seguente espressione:

$$q_{tk} = \frac{V^2}{127 \cdot r} (f \cdot q_{vk})$$

dove:

- q_{tk} è il valore caratteristico della forza centrifuga, espresso in kN/m;
- q_{vk} è il valore caratteristico dei carichi verticali ferroviari, espresso in kN/m;
- V è la velocità di progetto, espressa in km/h;

- f è un fattore di riduzione;
- r è il raggio di curvatura, espresso in m.

$$f = \left[1 - \frac{V - 120}{1000} \left(\frac{814}{V} + 1,75 \right) \cdot \left(1 - \sqrt{\frac{2,88}{L_f}} \right) \right] \quad (5.2.10)$$

f è un fattore di riduzione dato in funzione della velocità V e della lunghezza L_f di binario carico.

Nel caso in esame il viadotto si sviluppa in rettilineo pertanto la forza centrifuga è nulla.

6.5.2 Serpeggio (Q5)

L'azione laterale associata al serpeggio è definita al par. 1.4.3.2 delle Istruzioni per la progettazione e l'esecuzione dei ponti ferroviari, che riprende il par. 5.2.2.4.2 del DM 14.1.2008, ed equivale ad una forza concentrata agente orizzontalmente, applicata alla sommità della rotaia più alta, perpendicolarmente all'asse del binario, del valore di 100 kN. Tale valore deve essere moltiplicato per il coefficiente di adattamento α .

6.5.3 Frenatura / Avviamento (Q3)

I valori caratteristici da considerare, da moltiplicare per i coefficienti di adattamento α , sono:

Avviamento:

$$Q_{1a,k} = 33 \text{ [kN/m]} \times L \text{ [m]} \leq 1000 \text{ KN} \quad \text{per modelli di carico LM71, SW/0, SW/2}$$

Frenatura:

$$Q_{1b,k} = 20 \text{ [kN/m]} \times L \text{ [m]} \leq 6000 \text{ KN} \quad \text{per modelli di carico LM71, SW/0}$$

$$Q_{1b,k} = 35 \text{ [kN/m]} \times L \text{ [m]} \quad \text{per modelli di carico SW/2}$$

Nel caso di ponti a doppio binario si devono considerare due treni in transito in versi opposti, uno in fase di avviamento, l'altro in fase di frenatura.

6.6 AZIONE DEL VENTO (Q6)

L'azione del vento è valutata in accordo alla normativa vigente NTC08 e secondo quanto riportato nelle istruzioni CNR-DT207/2008.

Per le costruzioni usuali tali azioni sono convenzionalmente ricondotte ad azioni statiche equivalenti dirette secondo due assi principali della struttura, tali azioni esercitano normalmente all'elemento di parete o di copertura, pressioni e depressioni p (indicate rispettivamente con segno positivo e negativo) di intensità calcolate con la seguente espressione:

$$p = q_b c_e c_p c_d$$

- q_b = pressione cinetica di riferimento;
- c_e = coefficiente di esposizione ;
- c_p = coefficiente di forma (o coefficiente aerodinamico);
- c_d = coefficiente dinamico.

Pressione cinetica di riferimento:

La pressione cinetica di riferimento q_b (N/m^2) è data dall'espressione:

$$q_b = \frac{1}{2} \rho v_b^2$$

dove

v_b (T_R) = velocità di riferimento del vento (m/s) in corrispondenza del periodo di ritorno T_R

ρ = densità dell'aria assunta convenzionalmente costante e pari a $1,25 \text{ kg/m}^3$.

Il sito di riferimento "Puglia/Molise" ricade in zona 3 (figura 3.3.I_NTC 08) pertanto si ha:

Calcolo della pressione cinetica di riferimento (NTC 08)

ZONA	3		
$V_{b,o}$ =	27.00	m/s	Tabella 3.3.1 NTC 08
a_o =	500	m/s	Tabella 3.3.1 NTC 08
k_a =	0.02	1/s	Tabella 3.3.1 NTC 08
a_s (m) =	≤ 500	m	Altitudine slm sito di riferimento
v_b	27	m/s	Velocità di riferimento (par.3.3.2 NTC08)
r =	1.25	kg/m^3	
T_r =	75	anni	Periodo di ritorno
α_R	1.02	-	Circolare 617-2009 (par 3.3.2)
v_b (TR) =	27.633	m/s	Circolare 617-2009 (par 3.3.2)
q_b =	456	N/m^2	Pressione cinetica di riferimento
q_b =	0.456	kN/m^2	Pressione cinetica di riferimento

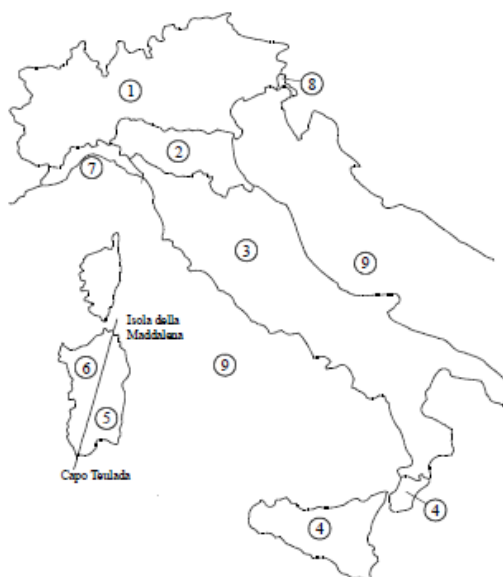


Figura 3.3.1 – Mappa delle zone in cui è suddiviso il territorio italiano

Tabella 3.3.I - Valori dei parametri $v_{b,0}$, a_0 , k_a

Zona	Descrizione	$v_{b,0}$ [m/s]	a_0 [m]	k_a [1/s]
1	Valle d'Aosta, Piemonte, Lombardia, Trentino Alto Adige, Veneto, Friuli Venezia Giulia (con l'eccezione della provincia di Trieste)	25	1000	0,010
2	Emilia Romagna	25	750	0,015
3	Toscana, Marche, Umbria, Lazio, Abruzzo, Molise, Puglia, Campania, Basilicata, Calabria (esclusa la provincia di Reggio Calabria)	27	500	0,020
4	Sicilia e provincia di Reggio Calabria	28	500	0,020
5	Sardegna (zona a oriente della retta congiungente Capo Teulada con l'Isola di Maddalena)	28	750	0,015
6	Sardegna (zona a occidente della retta congiungente Capo Teulada con l'Isola di Maddalena)	28	500	0,020
7	Liguria	28	1000	0,015
8	Provincia di Trieste	30	1500	0,010
9	Isole (con l'eccezione di Sicilia e Sardegna) e mare aperto	31	500	0,020

Coefficiente di esposizione:

Il coefficiente d'esposizione c_e dipende dall'altezza z sul suolo del punto considerato, dalla topografia del terreno, e dalla categoria di esposizione del sito ove sorge la costruzione (k_r , z_0 , z_{min}).

Il valore di c_e può essere ricavato mediante la relazione:

$$C_\theta(Z) = K_r^2 \cdot C_r \cdot \ln\left(\frac{Z}{z_0}\right) \left[7 + C_r \cdot \ln\left(\frac{Z}{z_0}\right)\right] \quad \text{per } Z > Z_{min}$$

$$C_\theta(Z) = C_\theta(Z_{min}) \quad \text{per } Z < Z_{min}$$

Dove k_r , z_0 e z_{min} sono definiti nella tabella seguente:

Tabella 4 Schema per la definizione della categoria di esposizione – cfr. NTC08

Categoria di esposizione del sito	k_r	z_0 [m]	z_{min} [m]
I	0,17	0,01	2
II	0,19	0,05	4
III	0,20	0,10	5
IV	0,22	0,30	8
V	0,23	0,70	12

Mentre il coefficiente di topografia si assume pari a:

$$C_t = 1.0 \quad (\text{Circolare del D.M. 1996, paragrafo C.7.5. caso zona pianeggiante P.O.})$$

Per il sito in esame si considera la Classe di rugosità del terreno D (tab 3.3.III):

Tabella 3.3.III - Classi di rugosità del terreno

Classe di rugosità del terreno	Descrizione
A	Aree urbane in cui almeno il 15% della superficie sia coperto da edifici la cui altezza media superi i 15m
B	Aree urbane (non di classe A), suburbane, industriali e boschive
C	Aree con ostacoli diffusi (alberi, case, muri, recinzioni,...); aree con rugosità non riconducibile alle classi A, B, D
D	Aree prive di ostacoli (aperta campagna, aeroporti, aree agricole, pascoli, zone paludose o sabbiose, superfici innevate o ghiacciate, mare, laghi,...)

L'assegnazione della classe di rugosità non dipende dalla conformazione orografica e topografica del terreno. Affinché una costruzione possa dirsi ubicata in classe A o B è necessario che la situazione che contraddistingue la classe permanga intorno alla costruzione per non meno di 1 km e comunque non meno di 20 volte l'altezza della costruzione. Laddove sussistano dubbi sulla scelta della classe di rugosità, a meno di analisi dettagliate, verrà assegnata la classe più sfavorevole.

Considerando come categoria di esposizione la categoria II (sito entro 10 km dalla costa):

Tabella 5 Definizione della categoria di esposizione

ZONE 1,2,3,4,5						
	costa	10 km	30 km	500m	750m	
A	--	IV	IV	V	V	V
B	--	III	III	IV	IV	IV
C	--	*	III	III	IV	IV
D	I	II	II	II	III	**

* Categoria II in zona 1,2,3,4
Categoria III in zona 5

** Categoria III in zona 2,3,4,5
Categoria IV in zona 1

Riassumendo:

Calcolo Coefficiente di Esposizione

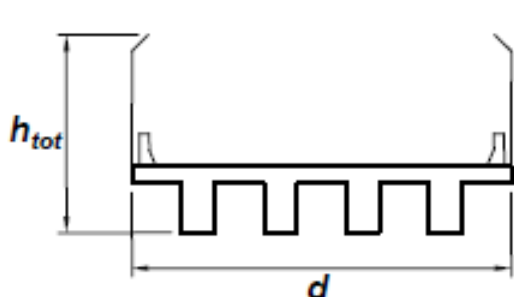
Classe rugosità	D	tab. 3.3.III NTC 08
Cat. Esp.	II	tab. 3.3.II NTC 08
$k_r =$	0.19	- tab. 3.3.II NTC 08
$z_0 =$	0.05 m	tab. 3.3.II NTC 08
$z_{min} =$	4.00 m	tab. 3.3.II NTC 08
$h_1 =$	10.00 m	quota intradosso implacato (cautelativamente si assume 10m)
$s =$	2.61 m	spessore impalcato
$h_2 =$	0.69 m	distanza estradosso impalcato-P.F.
$h_3 =$	4.50 m	altezza ingombro (cautelativamente si considera una barriera H4v)
$z =$	17.8 m	Altezza suolo del punto considerato
$c_e =$	2.73	- Coefficiente di esposizione

Coefficiente dinamico:

Il coefficiente dinamico è posto pari a $c_d = 1$, in accordo alle indicazioni di cui al DM 14.01.08.

Coefficiente di forma o coefficiente aerodinamico

Si assume che il vento agisca in direzione prevalentemente orizzontale, ortogonalmente all'asse dell'impalcato: esercita nel piano della sezione un sistema di azioni aerodinamiche per unità di lunghezza riconducibili ad una *forza parallela alla direzione del vento* " f_x ", a una *forza verticale* " f_y " e ad un *momento intorno alla linea d'asse* " m_z ". Tali azioni sono quantificate mediante una coppia di *coefficienti di forza* " c_{fx} " e " c_{fy} " e mediante un *coefficiente di momento* " c_{mz} ". Le azioni aerodinamiche f_x , f_y e m_z si considerano simultanee e combinate con isegni che producono gli effetti più onerosi. Nella valutazione di h_{tot} si considera cautelativamente la presenza di una barriera antirumore di tipo H4v anche nei casi ove non prevista in previsione di un eventuale futuro intervento di mitigazione acustica.



$$c_{fx} = \begin{cases} \frac{1,85}{d/h_{tot}} - 0,10 & 2 \leq d/h_{tot} \leq 5 \\ \frac{1,35}{d/h_{tot}} & d/h_{tot} > 5 \end{cases} \quad (G.24a)$$

$$c_{fy} = \begin{cases} \pm \left(0,7 + 0,1 \frac{d}{h_{tot}} \right) & 0 \leq d/h_{tot} \leq 5 \\ \pm 1,2 & d/h_{tot} > 5 \end{cases} \quad (G.24b)$$

$$c_{mz} = \pm 0,2 \quad (G.24c)$$

Nel caso in esame si ha:

Calcolo Coefficiente aerodinamico (CNR-DT 207/2008 par. G.11)

$q_p = q_b \cdot c_e(z) \cdot c_d =$	1.24	kN/m ²	Pressione pareti sopravvento
$h_{tot} =$	7.8	m	Altezza impalcato più sagoma
$d =$	13.70	m	Larghezza impalcato
$d/h_{tot} =$	1.8	-	
$C_{fx} =$	0.953	-	Coeff. aerodinamico in direz. Trasversale all'impalcato
$C_{fy} =$	0.876	-	Coeff. aerodinamico in direz. perpendicolare all'impalcato
$C_{mz} =$	0.2	-	Coeff. aerodinamico per il momento in direzione dell'asse dell'impalcato

In definitiva si ha:

PRESSIONI

$q_{px} = q_p \cdot c_{fx} =$	1.19	kN/m ²	Pressione in direz. Trasversale all'impalcato
$q_{py} = q_p \cdot c_{fy} =$	1.09	kN/m ²	Pressione in direz. Perpendicolare all'impalcato
$m_x = q_p \cdot c_{mz} =$	0.25	kNm/m ²	Pressione in direzione dell'asse dell'impalcato

FORZE DISTRIBUITE

$f_x = q_p \cdot d \cdot c_{fx} =$	16.25	kN/m	Forza distribuita in direz. Trasversale all'impalcato
$f_y = q_p \cdot d \cdot c_{fy} =$	14.92	kN/m	Forza distribuita in direz. Perpendicolare all'impalcato
$m_x = q_p \cdot d^2 \cdot c_{mz} =$	46.70	kNm/m	Momento distribuito in direzione dell'asse dell'impalcato

6.6.1 Azione aerodinamica dovuta al traffico ferroviario

In accordo con quanto previsto nel “MANUALE DI PROGETTAZIONE DELLE OPERE CIVILI” - RFI DTC SICS MA IFS 001 B, si considera l'effetto aerodinamico associato al passaggio dei treni. Tali prescrizioni si riscontrano anche al punto 5.2 della NTC2008 relativo ai ponti ferroviari.

Le azioni possono essere schematizzate mediante carichi equivalenti agenti nelle zone prossime alla testa ed alla coda del treno, il cui valore viene determinato con riferimento a due schemi, e deve essere utilizzato quello che meglio approssima la forma della pensilina, nel nostro caso la nostra pensilina si trova in una situazione intermedia tra le due descritte nello schema, pertanto calcoleremo il valore di pressione secondo entrambi gli schemi, ed applicheremo poi al modello di calcolo quello che induce una pressione maggiore:

Superfici verticali parallele al binario (5.2.2.7.1 – NTC2008):

Il valore dell'azione $\pm q_{1k}$ agente ortogonalmente alla superficie della barriera, viene valutato in funzione della distanza a_g dal binario.

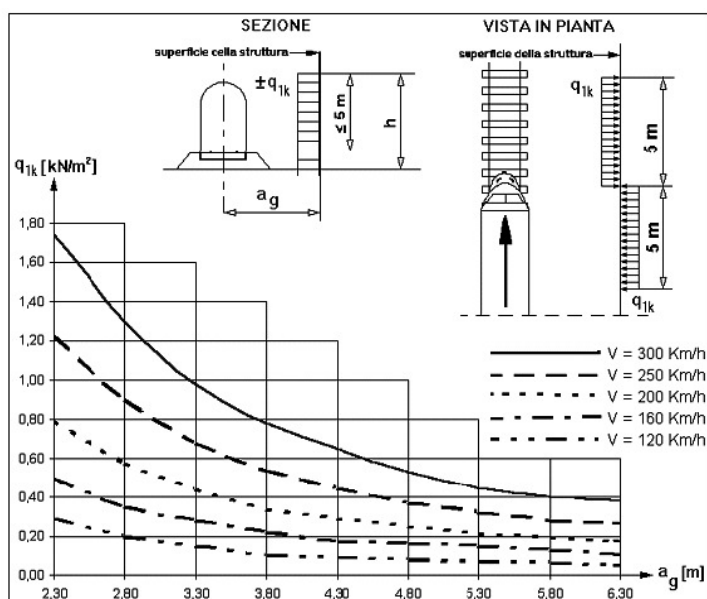


Figura 5.2.8 - Valori caratteristici delle azioni q_{1k} per superfici verticali parallele al binario

Figura 4 valori caratteristici delle azioni q_{1k} su superfici verticali e parallele al binario

Nel caso in esame si ha:

$$a_g = 4.3 \text{ m}$$

$$q_{1,k} = 0.30 \text{ kN/m}^2 \quad (\text{HP: } V=200 \text{ km/h})$$

PRESCRIZIONE 5.2.3.3.2 DM 2008:

Occorre verificare che l'azione risultante dalla somma dell'azione del vento con le azioni aerodinamiche deve essere maggiore di un valore minimo, funzione della velocità della linea e comunque di 1.5 kN/m^2 sia nelle verifiche agli SLE (comb. Caratteristica) che nelle verifiche agli SLU. Nel caso in esame ($160 < V < 200 \text{ km/h}$):

$$P_{tot,RFI} = q_{px} + q_{1,k} = 1.49 \text{ kN/mq}$$

Essendo $P_{tot,RFI} < 1.5 \text{ kN/mq}$ si assume nei calcoli:

$$q_{1,k} = 1.5 - q_{px} = 0.31 \text{ kN/m}^2$$

6.7 AZIONI SISMICHE (Q7)

Nel seguente paragrafo si riporta la descrizione e la valutazione dell'azione sismica secondo le specifiche del D.M. 14 gennaio 2008 nonché la valutazione delle sollecitazioni di verifica e di dimensionamento dei vari elementi strutturali secondo il criterio della Gerarchia delle Resistenze.

L'opera in questione rientra in particolare nell'ambito del Progetto di Raddoppio della tratta Ferroviaria "Linea Pescara - Bari - Raddoppio Termoli - Lesina", che si sviluppa per circa 25Km, attraversando il territorio di diverse località tra cui Termoli(CB), Campomarino(CB), Campomarino – Santa Monica (CB), Marina di Chieuti / Chieuti (FG), Serracapriola- Loc.SS16 (FG).

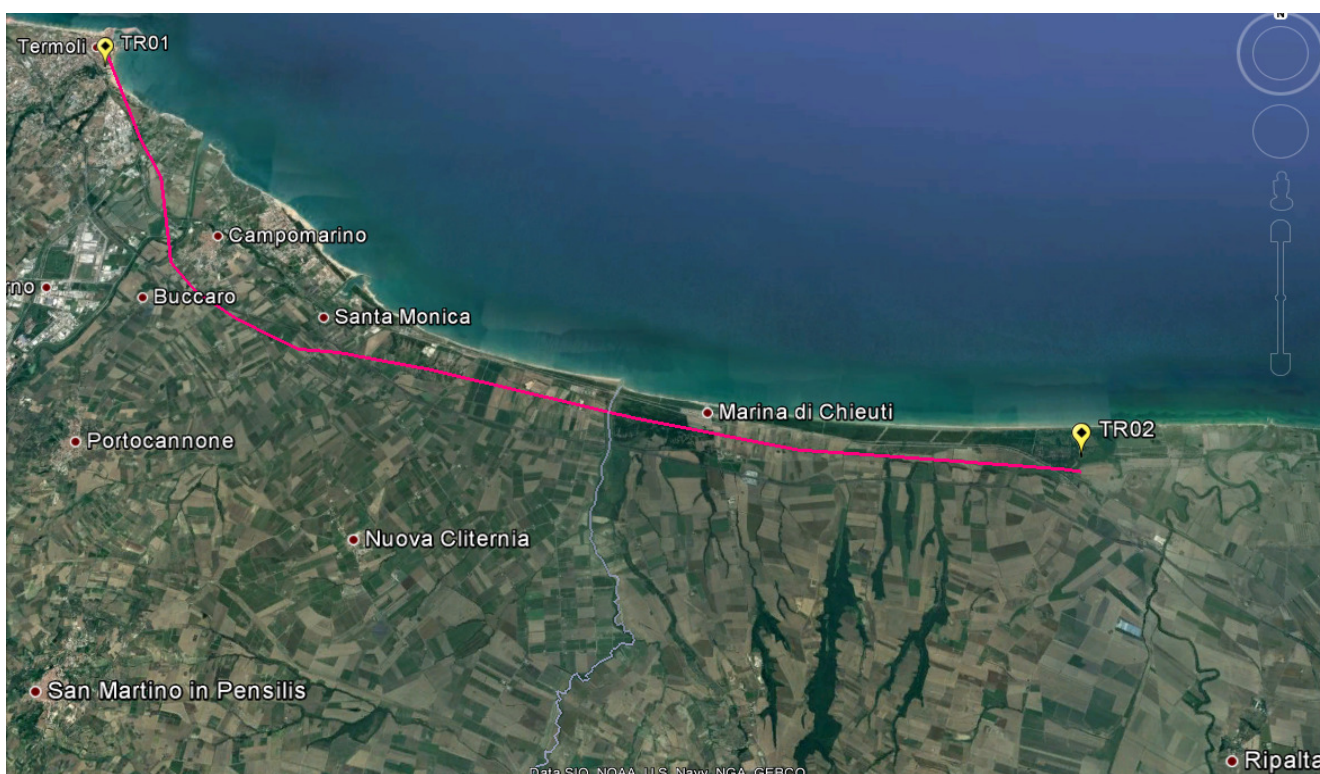


Figura 5 – Configurazione planimetrica tracciato

In considerazione della variabilità dei parametri di pericolosità sismica con la localizzazione geografica del sito, ed allo scopo di individuare dei tratti omogenei nell'ambito dei quali assumere costanti detti parametri, si è provveduto a suddividere il tracciato in quattro sottozone sismiche, a seguito di un esame generale del livello pericolosità sismica dell'area che evidenzia un graduale incremento dell'intensità sismica da nord verso sud; nella fattispecie le zone sismiche "omogenee" individuate, sono quelle di seguito elencate:

Tabella 6: Tabella di riepilogo località di riferimento per la valutazione delle azioni sismiche per il progetto delle opere

Progr. Inizio	Progr. Fine	Località di Riferimento Azioni Sismiche	Zona sismica Locale
0	5.250,00	Campomarino(CB)	S1
5.250,00	10.000,00	Campomarino - Santa Monica (CB)	S2
10.000,00	18.650,00	Marina di Chieuti /Chieuti (FG)	S3
18.650,00	24.200,00	Serracapriola- Loc.SS16 (FG)	S4

 ITALFERR GRUPPO FERROVIE DELLO STATO ITALIANE	LINEA PESCARA - BARI RADDOPPIO TRATTA FERROVIARIA TERMOLI - LESINA LOTTI 2 e 3 – RADDOPPIO TERMOLI - RIPALTA					
	VI13 - Ponte dal km 21+573,500 a km 21+589,500: Relazione di Spalla S2	COMMESSA LI02	LOTTO 02D78	CODIFICA CL	DOCUMENTO VI1304002	REV. A

Con riferimento alla normativa vigente (NTC 2008), le azioni sismiche di progetto si definiscono a partire dalla “pericolosità sismica di base” del sito di costruzione. Essa costituisce l’elemento di conoscenza primario per la determinazione delle azioni sismiche.

La pericolosità sismica è definita in termini di accelerazione orizzontale massima attesa a_g in condizioni di campo libero su sito di riferimento rigido con superficie topografica orizzontale (di categoria A quale definita al § 3.2.2 del D.M. 2008), nonché di ordinate dello spettro di risposta elastico in accelerazione ad essa corrispondente $S_e(T)$, con riferimento a prefissate probabilità di eccedenza PVR, come definite nel § 3.2.1 del D.M. 2008, nel periodo di riferimento VR, come definito nel § 2.4 del D.M. 2008.

Le forme spettrali sono definite, per ciascuna delle probabilità di superamento nel periodo di riferimento PVR, a partire dai valori dei seguenti parametri su sito di riferimento rigido orizzontale:

- a_g accelerazione orizzontale massima al sito;
- F_0 valore massimo del fattore di amplificazione dello spettro in accelerazione orizzontale;
- T_c^* periodo di inizio del tratto a velocità costante dello spettro in accelerazione orizzontale.

Nei paragrafi seguenti è riportata la valutazione dei parametri di pericolosità sismica per la zona sismica di riferimento in cui ricade l’opera.

6.7.1 Vita nominale

La vita nominale di un’opera strutturale V_N è intesa come il numero di anni nel quale la struttura, purché soggetta alla manutenzione ordinaria, deve potere essere usata per lo scopo al quale è destinata. Per la definizione della Vita Nominale da assegnare ad ogni singolo manufatto facente parte di una infrastruttura ferroviaria si rimanda al “MANUALE DI PROGETTAZIONE DELLE OPERE CIVILI” - RFI DTC SI PS MA IFS 001 B.

Tabella 7 Vita Nominale in funzione del tipo di costruzione

TIPO DI COSTRUZIONE ⁽¹⁾	Vita Nominale [V_N] ⁽¹⁾
OPERE NUOVE SU INFRASTRUTTURE FERROVIARIE ESISTENTI OPERE NUOVE SU INFRASTRUTTURE FERROVIARIE PROGETTATE CON LE NORME VIGENTI PRIMA DEL DM 14/01/2008 A VELOCITA' CONVENZIONALE ($V < 250$ Km/h)	50
ALTRE OPERE NUOVE A VELOCITA' ($V < 250$ km/h)	75
ALTRE OPERE NUOVE A VELOCITA' ($V \geq 250$ Km/h)	100
OPERE DI GRANDI DIMENSIONI: PONTI E VIADOTTI CON CAMPATE DI LUCE MAGGIORE DI 150 m	≥ 100 ⁽²⁾
(1) - La medesima V_N si applica anche ad apparecchi di appoggio, coprigiunti e impermeabilizzazione delle stesse opere.	
(2) - Da definirsi per il singolo progetto a cura di RFI.	

Tenendo conto delle indicazioni precedenti le strutture di progetto avranno vita nominale $V_N = 75$.

 ITALFERR GRUPPO FERROVIE DELLO STATO ITALIANE	LINEA PESCARA - BARI RADDOPPIO TRATTA FERROVIARIA TERMOLI - LESINA LOTTE 2 e 3 – RADDOPPIO TERMOLI - RIPALTA					
	V113 - Ponte dal km 21+573,500 a km 21+589,500: Relazione di Spalla S2	COMMESSA L102	LOTTO 02D78	CODIFICA CL	DOCUMENTO V11304002	REV. A

6.7.2 Classe d'uso

In presenza di azioni sismiche, con riferimento alle conseguenze di una interruzione di operatività o di un eventuale collasso, le costruzioni sono suddivise in classi d'uso così definite:

- **Classe I:** Costruzioni con presenza solo occasionale di persone, edifici agricoli.
- **Classe II:** Costruzioni il cui uso preveda normali affollamenti, senza contenuti pericolosi per l'ambiente e senza funzioni pubbliche e sociali essenziali. Industrie con attività non pericolose per l'ambiente. Ponti, opere infrastrutturali, reti viarie non ricadenti in Classe d'uso III o in Classe d'uso IV, reti ferroviarie la cui interruzione non provochi situazioni di emergenza. Dighe il cui collasso non provochi conseguenze rilevanti.
- **Classe III:** Costruzioni il cui uso preveda affollamenti significativi. Industrie con attività pericolose per l'ambiente. Reti viarie extraurbane non ricadenti in Classe d'uso IV. Ponti e reti ferroviarie la cui interruzione provochi situazioni di emergenza. Dighe rilevanti per le conseguenze di un loro eventuale collasso.
- **Classe IV:** Costruzioni con funzioni pubbliche o strategiche importanti, anche con riferimento alla gestione della protezione civile in caso di calamità. Industrie con attività particolarmente pericolose per l'ambiente. Reti viarie di tipo A o B, di cui al D.M. 5 novembre 2001, n. 6792, "Norme funzionali e geometriche per la costruzione delle strade", e di tipo C quando appartenenti ad itinerari di collegamento tra capoluoghi di provincia non altresì serviti da strade di tipo A o B. Ponti e reti ferroviarie di importanza critica per il mantenimento delle vie di comunicazione, particolarmente dopo un evento sismico. Dighe connesse al funzionamento di acquedotti e a impianti di produzione di energia elettrica.

Per la definizione della Classe di uso da assegnare ad ogni singolo manufatto facente parte di una infrastruttura ferroviaria esistente si rimanda al "MANUALE DI PROGETTAZIONE DELLE OPERE CIVILI" - RFI DTC SI PS MA IFS 001 B.

Tabella 8 Classe d'uso Coeff. d'uso in funzione del tipo di costruzione per l'infrastruttura ferroviaria

TIPO DI COSTRUZIONE	Classe d'uso	Coefficiente d'uso [CU]
GRANDI STAZIONI	C IV	2,0
OPERE D'ARTE DEL SISTEMA DI GRANDE VIABILITÀ FERROVIARIA	C III	1,5
ALTRE OPERE D'ARTE	C II	1,0

Facendo riferimento all'Allegato 5 della specifica alla pagina 151 del "MANUALE DI PROGETTAZIONE DI PONTI E STRUTTURE" - RFI DTC SICS MA IFS 001 B si ricade in classe d'uso tipo **Classe III con coefficiente d'uso CU=1,5**.

	LINEA PESCARA - BARI RADDOPPIO TRATTA FERROVIARIA TERMOLI - LESINA LOTTI 2 e 3 – RADDOPPIO TERMOLI - RIPALTA					
	VI13 - Ponte dal km 21+573,500 a km 21+589,500: Relazione di Spalla S2	COMMESSA L102	LOTTO 02D78	CODIFICA CL	DOCUMENTO VI1304002	REV. A

6.7.3 Periodo di riferimento

Le azioni sismiche su ciascuna costruzione vengono valutate in relazione ad un periodo di riferimento V_R che si ricava, per ciascun tipo di costruzione, moltiplicandone la vita nominale V_N per il coefficiente d'uso C_U :
 $V_R = V_N \cdot C_U = 75 \cdot 1.50 = 112.5$ anni (periodo di riferimento).

6.7.4 Valutazione dei parametri di pericolosità sismica

Fissata la vita di riferimento V_R , i due parametri T_R e P_{V_R} sono immediatamente esprimibili, l'uno in funzione dell'altro, mediante l'espressione:

$$T_R = \frac{V_R}{\ln(1 - P_{V_R})} = - \frac{C_u \cdot V_s}{\ln(1 - P_{V_s})}$$

da cui si ottiene la seguente Tabella:

Tabella 9 Probabilità di superamento P_{V_R} al variare dello stato limite considerato

	STATO LIMITE	probabilità di superamento P_{V_R}	Valori in anni del periodo di ritorno T_R
	SLO - Stato Limite di Operatività	81%	68
SLE	SLD - Stato Limite di Danno	63%	113
	SLV - Stato Limite di salvaguardia della Vita	10%	1068
SLU	SLC - Stato Limite di prevenzione del Collasso	5%	2193

Per il sito in esame, in base ai parametri precedentemente adottati, il periodo T_R in corrispondenza dello stato limite ultimo SLV è pari a $T_R = 1068$ anni.

Le strutture di progetto avranno quindi i seguenti parametri sismici:

- vita nominale $V_N = 75$;
- periodo di riferimento pari a $V_R = 112.5$;
- il periodo T_R in corrispondenza dello SLV sarà pari a $T_R = 1068$ anni.

6.7.5 Caratterizzazione sismica del terreno

Categorie di Sottosuolo

Ai fini della definizione dell'azione sismica di progetto, si rende necessario valutare l'effetto della risposta sismica locale.

Per la definizione dell'azione sismica si può fare riferimento a un approccio semplificato, che si basa sull'individuazione delle categorie di sottosuolo di riferimento in accordo a quanto indicato nel § 3.2.2 delle NTC2008.

Amplificazione Stratigrafica e Topografica

In riferimento a quanto indicato nel §3.2.3.2.1 delle NTC2008 per la definizione dello spettro elastico in accelerazione è necessario valutare il valore del coefficiente $S = S_S \cdot S_T$ e di C_C in base alla categoria di sottosuolo e alle condizioni topografiche; si fa riferimento nella valutazione dei coefficienti alle Tab.18 e 19 che sono riportate di seguito:

Tabella 10 Tabella delle espressioni per S_S e C_C

Tabella 3.2.V – Espressioni di S_S e di C_C

Categoria sottosuolo	S_S	C_C
A	1,00	1,00
B	$1,00 \leq 1,40 - 0,40 \cdot F_o \cdot \frac{a_g}{g} \leq 1,20$	$1,10 \cdot (T_C^*)^{-0,20}$
C	$1,00 \leq 1,70 - 0,60 \cdot F_o \cdot \frac{a_g}{g} \leq 1,50$	$1,05 \cdot (T_C^*)^{-0,33}$
D	$0,90 \leq 2,40 - 1,50 \cdot F_o \cdot \frac{a_g}{g} \leq 1,80$	$1,25 \cdot (T_C^*)^{-0,50}$
E	$1,00 \leq 2,00 - 1,10 \cdot F_o \cdot \frac{a_g}{g} \leq 1,60$	$1,15 \cdot (T_C^*)^{-0,40}$

Tabella 11 Valori massimi del coeff. di amplificazione topografica S_T

Tabella 3.2.VI – Valori massimi del coefficiente di amplificazione topografica S_T

Categoria topografica	Ubicazione dell'opera o dell'intervento	S_T
T1	-	1,0
T2	In corrispondenza della sommità del pendio	1,2
T3	In corrispondenza della cresta del rilievo	1,2
T4	In corrispondenza della cresta del rilievo	1,4

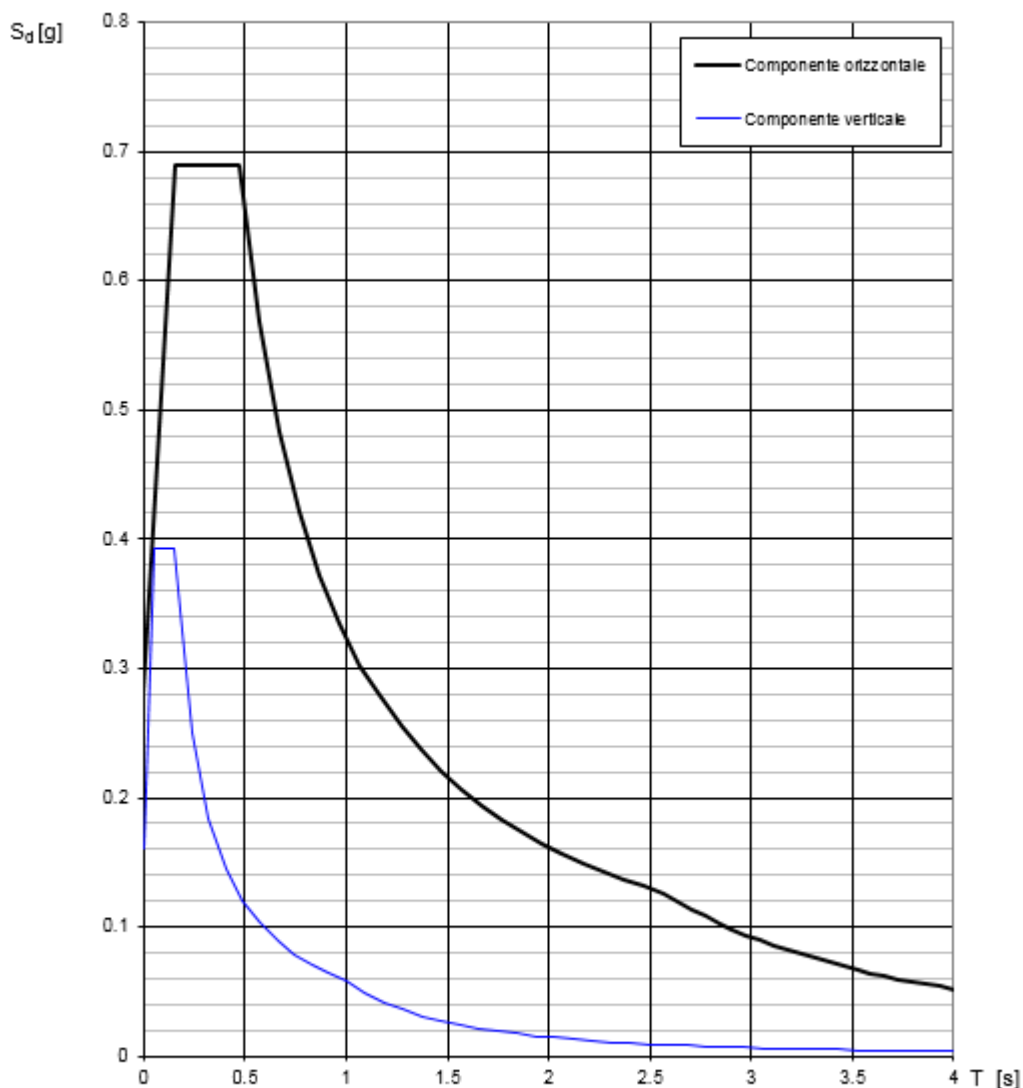
6.7.6 Parametri sismici di calcolo e spettro elastico di risposta

L'opera in questione rientra nella zona sismica denominata S4 di cui nel seguito si riportano i parametri sismici di calcolo e lo spettro elastico di risposta:

Tabella 12: Parametri sismici di calcolo

ZONA SISMICA	S4
LATITUDINE	41.909
LONGITUDINE	15.246
COMUNE	Serracapriola- Loc.SS16
PROVINCIA	FOGGIA
STATO LIMITE	SLV
CATEGORIA DI SOTTOSUOLO	B
CATEGORIA TOPOGRAFICA	T1
VITA NOMINALE V_N	75
CLASSE D'USO	C III
COEFFICIENTE D'USO C_U	1.5
VITA DI RIFERIMENTO V_R	112.5
a_g [g]	0.242
F_o	2.452
T_c^* [s]	0.346
S_s	1.163
C_c	1.360
S_T	1.000
PARAMETRI DIPENDENTI	
S	1.163
T_B	0.157
T_C	0.471
T_D	2.568

Spettri di risposta (componenti orizz. e vert.) per lo stato li SLV



La verifica dell'idoneità del programma, l'utilizzo dei risultati da esso ottenuti sono onere e responsabilità esclusiva dell'utente. Il Consiglio Superiore dei Lavori Pubblici non potrà essere ritenuto responsabile dei danni risultanti dall'utilizzo dello stesso.

Figura 6 - Spettri di risposta elastici (componente orizzontale e verticale)

In accordo con le prescrizioni normative, lo spettro di risposta elastico è stato considerato solo ai fini della valutazione delle azioni in fondazione e per la valutazione delle azioni sugli apparecchi di appoggio.

6.7.7 Spettri di risposta di progetto

In accordo con il D.M. 14/01/2008 p.to 3.2.3.5, ai fini del progetto o della verifica delle strutture, le capacità dissipative delle strutture possono essere messe in conto attraverso una riduzione delle forze elastiche. Tale riduzione tiene conto in modo semplificato della capacità dissipativa anelastica della struttura, della sua sovraresistenza, dell'incremento del suo periodo proprio a seguito delle plasticizzazioni. In tal caso, lo spettro di progetto $S_d(T)$ da utilizzare, sia per le componenti orizzontali, sia per la componente verticale, è lo spettro elastico con le ordinate ridotte sostituendo, nelle espressioni che lo definiscono il termine η con il termine $1/q$, dove q è il cosiddetto fattore di struttura. In ogni caso bisogna assumere $S_d(T) \geq 0.2a_g$.

Il fattore di struttura è definito come (NTC – 7.3.1):

$$q = q_0 \cdot K_R$$

dove:

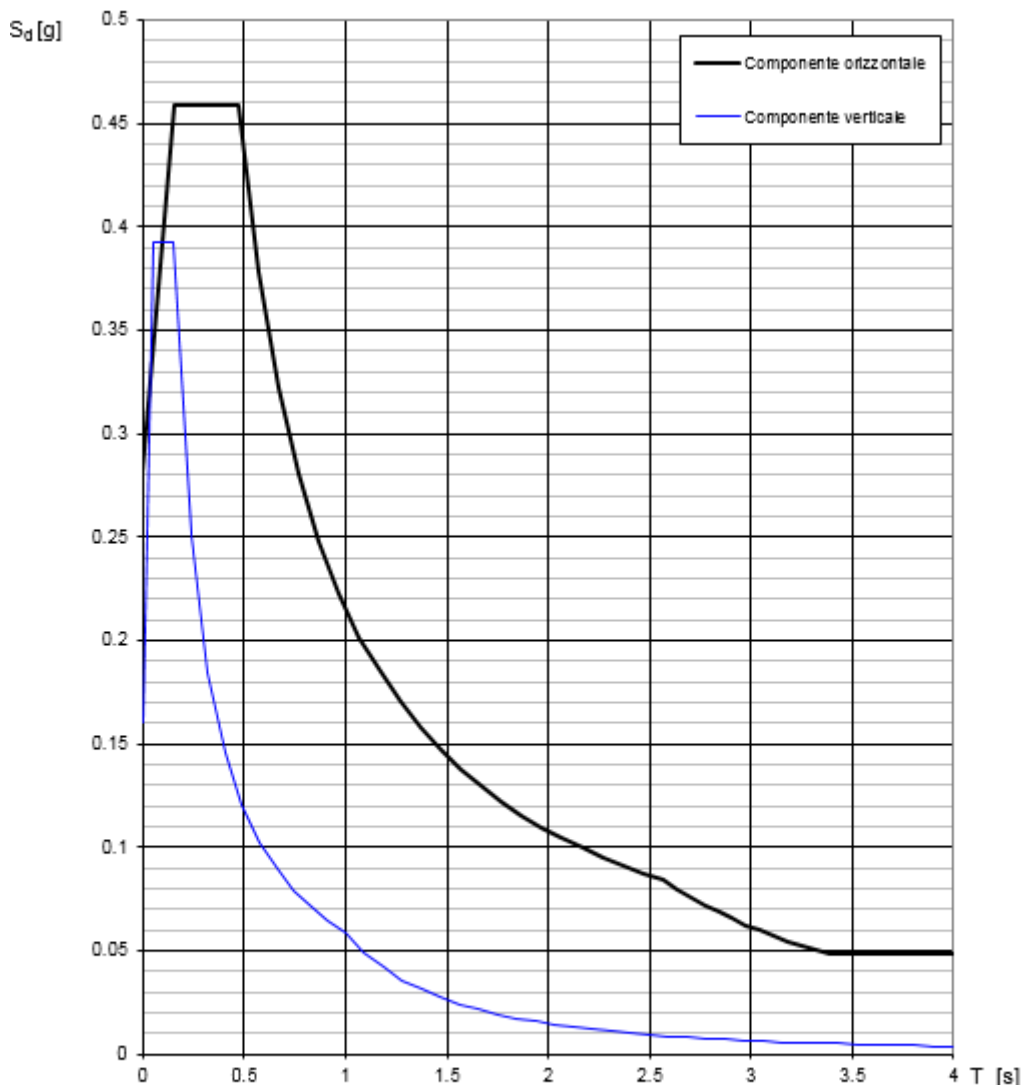
- q_0 è il valore massimo del fattore di struttura che dipende dal livello di duttilità attesa, dalla tipologia strutturale e dal rapporto α_w/α_1 tra il valore dell'azione sismica per il quale si verifica la formazione di un numero di cerniere plastiche tali da rendere la struttura labile e quello per il quale il primo elemento strutturale raggiunge la plasticizzazione a flessione;
- K_R è un fattore riduttivo che dipende dalle caratteristiche di regolarità in altezza della costruzione, con valore pari ad 1 per costruzioni regolari in altezza e pari a 0,8 per costruzioni non regolari in altezza.

Nel caso di pile da ponte in c.a. in **classe di duttilità "B" (CD "B")**, in accordo con il D.M. 14/01/2008 p.to 7.9.2.1 (Tabella 7.9.I), il valore di q_0 è pari ad 1.5 mentre il valore di K_R è pari ad 1, per cui, in definitiva, per le componenti orizzontali dell'azione sismica si adotta:

$$q = 1.5$$

Per la componente verticale, il fattore di struttura per i ponti è unitario ($q = 1$), quindi si utilizza lo spettro elastico.

L'utilizzo di uno spettro di risposta di progetto ($q > 1$) implica il rispetto di quelli che sono i requisiti normativi della **gerarchia delle resistenze**, descritti nello specifico nei paragrafi relativi al calcolo e alla verifica dei singoli elementi strutturali.



La verifica dell'idoneità del programma, l'utilizzo dei risultati da esso ottenuti sono onere e responsabilità esclusiva dell'utente. Il Consiglio Superiore dei Lavori Pubblici non potrà essere ritenuto responsabile dei danni risultanti dall'utilizzo dello stesso.

Figura 7 - Spettri di risposta di progetto (componente orizzontale e verticale)

6.8 RESISTENZE PARASSITE DEI VINCOLI (Q8)

Gli effetti dell'attrito sono valutati associando, in corrispondenza degli appoggi scorrevoli, alle reazioni verticali dovute a carichi permanenti (V_G) e quelle dovute a carichi accidentali (V_Q) le seguenti forze orizzontali in direzione longitudinale:

Spalle: $F_h = f(V_G + V_Q)$

Pile: $F_h = f(0.2 V_G + V_Q)$

dove f = coefficiente di attrito = 3%.

6.9 GRUPPI DI CARICO

Per la determinazione degli effetti delle azioni da traffico si fa riferimento ai gruppi di carico da 1 a 4 secondo la tabella riportata di seguito.

TIPO DI CARICO	Azioni verticali		Azioni orizzontali			Commenti
	Carico verticale (1)	Treno scarico	Frenatura e avviamento	Centrifuga	Serpeggio	
Gruppo 1 (2)	1,00	-	0,5 (0,0)	1,0 (0,0)	1,0 (0,0)	massima azione verticale e laterale
Gruppo 2 (2)	-	1,00	0,00	1,0 (0,0)	1,0(0,0)	stabilità laterale
Gruppo 3 (2)	1,0 (0,5)	-	1,00	0,5 (0,0)	0,5 (0,0)	massima azione longitudinale
Gruppo 4	0,8 (0,6; 0,4)	-	0,8 (0,6; 0,4)	0,8 (0,6; 0,4)	0,8 (0,6; 0,4)	fessurazione

■ Azione dominante
 (1) Includendo tutti i fattori ad essi relativi (Φ, α , ecc.)
 (2) La simultaneità di due o tre valori caratteristici interi (assunzione di diversi coefficienti pari ad 1), sebbene improbabile, è stata considerata come semplificazione per i gruppi di carico 1, 2, 3 senza che ciò abbia significative conseguenze progettuali.

Nel caso in esame, le azioni agenti sull'impalcato sono state combinate secondo i gruppi 1 e 3 che comportano le maggiori sollecitazioni per le strutture in elevazione e in fondazione.

7 COMBINAZIONI DI CARICO

Si utilizzano i coefficienti parziali di sicurezza γ_i e i coefficienti di combinazione ψ_i di seguito riportati

		Coefficiente	EQU ⁽¹⁾	A1 STR	A2 GEO	Combinazione eccezionale	Combinazione Sismica
Carichi permanenti	favorevoli	γ_{G1}	0,90	1,00	1,00	1,00	1,00
	sfavorevoli		1,10	1,35	1,00	1,00	1,00
Carichi permanenti non strutturali ⁽²⁾	favorevoli	γ_{G2}	0,00	0,00	0,00	1,00	1,00
	sfavorevoli		1,50	1,50	1,30	1,00	1,00
Ballast ⁽³⁾	favorevoli	γ_B	0,90	1,00	1,00	1,00	1,00
	sfavorevoli		1,50	1,50	1,30	1,00	1,00
Carichi variabili da traffico ⁽⁴⁾	favorevoli	γ_Q	0,00	0,00	0,00	0,00	0,00
	sfavorevoli		1,45	1,45	1,25	0,20 ⁽⁵⁾	0,20 ⁽⁵⁾
Carichi variabili	favorevoli	γ_{Qi}	0,00	0,00	0,00	0,00	0,00
	sfavorevoli		1,50	1,50	1,30	1,00	0,00
Precompressione	favorevole	γ_P	0,90	1,00	1,00	1,00	1,00
	sfavorevole		1,00 ⁽⁶⁾	1,00 ⁽⁷⁾	1,00	1,00	1,00

⁽¹⁾ Equilibrio che non coinvolga i parametri di deformabilità e resistenza del terreno; altrimenti si applicano i valori di GEO.
⁽²⁾ Nel caso in cui i carichi permanenti non strutturali (ad es. carichi permanenti portati) siano compiutamente definiti si potranno adottare gli stessi coefficienti validi per le azioni permanenti.
⁽³⁾ Quando si prevedano variazioni significative del carico dovuto al ballast, se ne dovrà tener conto esplicitamente nelle verifiche.
⁽⁴⁾ Le componenti delle azioni da traffico sono introdotte in combinazione considerando uno dei gruppi di carico gr della Tab. 5.2.IV.
⁽⁵⁾ Aliquota di carico da traffico da considerare.
⁽⁶⁾ 1,30 per instabilità in strutture con precompressione esterna
⁽⁷⁾ 1,20 per effetti locali

Azioni		ψ_0	ψ_1	ψ_2
Azioni singole da traffico	Carico sul rilevato a tergo delle spalle	0,80	0,50	0,0
	Azioni aerodinamiche generate dal transito dei convogli	0,80	0,50	0,0
Gruppi di carico	gr1	0,80 ⁽²⁾	0,80 ⁽¹⁾	0,0
	gr2	0,80 ⁽²⁾	0,80 ⁽¹⁾	-
	gr3	0,80 ⁽²⁾	0,80 ⁽¹⁾	0,0
	gr4	1,00	1,00 ⁽¹⁾	0,0
Azioni del vento	F_{Wk}	0,60	0,50	0,0
Azioni da neve	in fase di esecuzione	0,80	0,0	0,0
	SLU e SLE	0,0	0,0	0,0
Azioni termiche	T_k	0,60	0,60	0,50

Le condizioni di carico utilizzate per le verifiche delle sottostrutture sono riportate nella tabella seguente:

G1	Carichi permanenti strutturali
G2,1	Carichi permanenti non strutturali (Ballast e armamento)
G2,2	Carichi permanenti non strutturali (Velette)
G2,3	Carichi permanenti non strutturali (Paraballast, canalette e impianti)
G2,4	Carichi permanenti non strutturali (Barriere antirumore)
Q3,a B1-SW2	Azione di avviamento per treno SW/2 su binario 1
Q3,a B1-LM71	Azione di avviamento per treno LM71 su binario 1
Q3,a B2-LM71	Azione di avviamento per treno LM71 su binario 2
Q3,f B1-SW2	Azione di frenatura per treno SW/2 su binario 1
Q3,f B1-LM71	Azione di frenatura per treno LM71 su binario 1
Q3,f B2-LM71	Azione di frenatura per treno LM71 su binario 2
Q4 B1-SW2	Azione centrifuga per treno SW/2 su binario 1
Q4 B1-LM71	Azione centrifuga per treno LM71 su binario 1
Q4 B2-LM71	Azione centrifuga per treno LM71 su binario 2
Q5 B1-SW2	Azione di serpeggio per treno SW/2 su binario 1
Q5 B1-LM71	Azione di serpeggio per treno LM71 su binario 1
Q5 B2-LM71	Azione di serpeggio per treno LM71 su binario 2
Q6	Azione del vento
LM71_B1	Carico verticale per treno LM71 su binario 1
LM71_B2	Carico verticale per treno LM71 su binario 2
SW2_B1	Carico verticale per treno SW/2 su binario 1
Attrito Gk	Resistenze parassite dei vincoli (aliquota dovuta ai carichi permanenti)
Attrito Qk	Resistenze parassite dei vincoli (aliquota dovuta ai carichi variabili)

Tabella 13 – Condizioni di carico

A partire dalle singole condizioni di carico sono ottenute le combinazioni di carico previste dalla normativa e riportate alla pagina successiva. Al fine di massimizzare le azioni agenti sulle sottostrutture, per ogni stato limite (ad eccezione delle combinazioni sismiche e di esercizio quasi permanenti in cui sono assenti i carichi ferroviari) si identificano 8 diverse combinazioni di carico in quanto per i gruppi di carico 1 e 3 sono stati considerate:

- condizioni di traffico normale (modello di carico LM71 su binario 1 e 2) su entrambe le campate;
- condizioni di traffico pesante (SW/2 su binario 1, LM71 su binario 2) su entrambe le campate;
- condizioni di traffico pesante con un solo binario carico (SW/2 su binario 1) su entrambe le campate;
- condizioni di traffico pesante (SW/2 su binario 1, LM71 su binario 2) solo sulla campata lato appoggi fissi.

In accordo con la Tabella 5.1.V del D.M. 14/01/2008, le combinazioni allo SLU sono state duplicate considerando sia il possibile effetto sfavorevole che quello favorevole dei carichi permanenti strutturali e non. Nel secondo caso si sono quindi assunti valori unitari per i coefficienti γ_{Gk} .

VI13 - Ponte dal km 21+573,500 a km 21+589,500: Relazione di Spalla S2

COMMESSA	LOTTO	CODIFICA	DOCUMENTO	REV.	FOGLIO
LI02	02D78	CL	VI1304002	B	33 di 58

Combo	Gruppo	Traffico	G1	G2,1	G2,2	G2,3	G2,4	Q3,a B1-SW2	Q3,a B1-LM71	Q3,a B2-LM71	Q3,f B1-SW2	Q3,f B1-LM71	Q3,f B2-LM71	Q4 B1-SW2	Q4 B1-LM71	Q4 B2-LM71	Q5 B1-SW2	Q5 B1-LM71	Q5 B2-LM71	Q6	LM71_B1	LM71_B2	SW2_B1	Attrito G	Attrito q
SLU-Gr.1(N)	Gr.1	(N)	1.35	1.5	1.35	1.35	1.35	0	0.725	0	0	0	0.725	0	1.45	1.45	0	1.45	1.45	0.9	1.45	1.45	0	-1.35	-1.45
SLU-Gr.3(N)	Gr.3	(N)	1.35	1.5	1.35	1.35	1.35	0	1.45	0	0	0	1.45	0	0.725	0.725	0	0.725	0.725	0.9	1.45	1.45	0	-1.35	-1.45
SLU-Gr.1(P)	Gr.1	(P)	1.35	1.5	1.35	1.35	1.35	0	0	0.725	0.725	0	0	1.45	0	1.45	1.45	0	1.45	0.9	0	1.45	1.45	-1.35	-1.45
SLU-Gr.3(P)	Gr.3	(P)	1.35	1.5	1.35	1.35	1.35	0	0	1.45	1.45	0	0	0.725	0	0.725	0.725	0	0.725	0.9	0	1.45	1.45	-1.35	-1.45
SLU-Gr.1-1SW/2	Gr.1	1SW/2	1.35	1.5	1.35	1.35	1.35	0	0	0	0.725	0	0	1.45	0	0	1.45	0	0	0.9	0	0	1.45	-1.35	-0.725
SLU-Gr.3-1SW/2	Gr.3	1SW/2	1.35	1.5	1.35	1.35	1.35	0	0	0	1.45	0	0	0.725	0	0	0.725	0	0	0.9	0	0	1.45	-1.35	-0.725
SLU-Gr.1-MaxML (P)	Gr.1	MaxML (P)	1.35	1.5	1.35	1.35	1.35	0	0	0.725	0.725	0	0	1.45	0	1.45	1.45	0	1.45	0.9	0	1.45	1.45	-1.35	-0.725
SLU-Gr.3-MaxML (P)	Gr.3	MaxML (P)	1.35	1.5	1.35	1.35	1.35	0	0	1.45	1.45	0	0	0.725	0	0.725	0.725	0	0.725	0.9	0	1.45	1.45	-1.35	-0.725
SLU-Gr.1(N)-Gk=1.00	Gr.1	(N)	1	1	1	1	1	0	0.725	0	0	0	0.725	0	1.45	1.45	0	1.45	1.45	0.9	1.45	1.45	0	-1	-1.45
SLU-Gr.3(N)-Gk=1.00	Gr.3	(N)	1	1	1	1	1	0	1.45	0	0	0	1.45	0	0.725	0.725	0	0.725	0.725	0.9	1.45	1.45	0	-1	-1.45
SLU-Gr.1(P)-Gk=1.00	Gr.1	(P)	1	1	1	1	1	0	0	0.725	0.725	0	0	1.45	0	1.45	1.45	0	1.45	0.9	0	1.45	1.45	-1	-1.45
SLU-Gr.3(P)-Gk=1.00	Gr.3	(P)	1	1	1	1	1	0	0	1.45	1.45	0	0	0.725	0	0.725	0.725	0	0.725	0.9	0	1.45	1.45	-1	-1.45
SLU-Gr.1-1SW/2-Gk=1.00	Gr.1	1SW/2	1	1	1	1	1	0	0	0	0.725	0	0	1.45	0	0	1.45	0	0	0.9	0	0	1.45	-1	-0.725
SLU-Gr.3-1SW/2-Gk=1.00	Gr.3	1SW/2	1	1	1	1	1	0	0	0	1.45	0	0	0.725	0	0	0.725	0	0	0.9	0	0	1.45	-1	-0.725
SLU-Gr.1-MaxML (P)-Gk=1.00	Gr.1	MaxML (P)	1	1	1	1	1	0	0	0.725	0.725	0	0	1.45	0	1.45	1.45	0	1.45	0.9	0	1.45	1.45	-1	-1.45
SLU-Gr.3-MaxML (P)-Gk=1.00	Gr.3	MaxML (P)	1	1	1	1	1	0	0	1.45	1.45	0	0	0.725	0	0.725	0.725	0	0.725	0.9	0	1.45	1.45	-1	-1.45
SLV-EL+0.3ET	\	\	1	1	1	1	1	0	0	0	0	0	0	0	0	0	0	0	0	0	0	0	0	-1	0
SLV-0.3EL+ET	\	\	1	1	1	1	1	0	0	0	0	0	0	0	0	0	0	0	0	0	0	0	0	-1	0
SLE-C-Gr.1(N)	Gr.1	(N)	1	1	1	1	1	0	0.5	0	0	0	0.5	0	1	1	0	1	1	0.6	1	1	0	-1	-1
SLE-C-Gr.3(N)	Gr.3	(N)	1	1	1	1	1	0	1	0	0	0	1	0	0.5	0.5	0	0.5	0.5	0.6	1	1	0	-1	-1
SLE-C-Gr.1(P)	Gr.1	(P)	1	1	1	1	1	0	0	0.5	0.5	0	0	1	0	1	1	0	1	0.6	0	1	1	-1	-1
SLE-C-Gr.3(P)	Gr.3	(P)	1	1	1	1	1	0	0	1	1	0	0	0.5	0	0.5	0.5	0	0.5	0.6	0	1	1	-1	-1
SLE-C-Gr.1-1SW/2	Gr.1	1SW/2	1	1	1	1	1	0	0	0	0.5	0	0	1	0	0	1	0	0	0.6	0	0	1	-1	-0.5
SLE-C-Gr.3-1SW/2	Gr.3	1SW/2	1	1	1	1	1	0	0	0	1	0	0	0.5	0	0	0.5	0	0	0.6	0	0	1	-1	-0.5
SLE-C-Gr.1-MaxML (P)	Gr.1	MaxML (P)	1	1	1	1	1	0	0	0.5	0.5	0	0	1	0	1	1	0	1	0.6	0	1	1	-1	-1
SLE-C-Gr.3-MaxML (P)	Gr.3	MaxML (P)	1	1	1	1	1	0	0	1	1	0	0	0.5	0	0.5	0.5	0	0.5	0.6	0	1	1	-1	-1
SLE-F-Gr.1(N)	Gr.1	(N)	1	1	1	1	1	0	0.4	0	0	0	0.4	0	0.8	0.8	0	0.8	0.8	0	0.8	0.8	0	-1	-0.8
SLE-F-Gr.3(N)	Gr.3	(N)	1	1	1	1	1	0	0.8	0	0	0	0.8	0	0.4	0.4	0	0.4	0.4	0	0.8	0.8	0	-1	-0.8
SLE-F-Gr.1(P)	Gr.1	(P)	1	1	1	1	1	0	0	0.4	0.4	0	0	0.8	0	0.8	0.8	0	0.8	0	0	0.8	0.8	-1	-0.8
SLE-F-Gr.3(P)	Gr.3	(P)	1	1	1	1	1	0	0	0.8	0.8	0	0	0.4	0	0.4	0.4	0	0.4	0	0	0.8	0.8	-1	-0.8
SLE-F-Gr.1-1SW/2	Gr.1	1SW/2	1	1	1	1	1	0	0	0	0.4	0	0	0.8	0	0	0.8	0	0	0	0	0	0.8	-1	-0.4
SLE-F-Gr.3-1SW/2	Gr.3	1SW/2	1	1	1	1	1	0	0	0	0.8	0	0	0.4	0	0	0.4	0	0	0	0	0	0.8	-1	-0.4
SLE-F-Gr.1-MaxML (P)	Gr.1	MaxML (P)	1	1	1	1	1	0	0	0.4	0.4	0	0	0.8	0	0.8	0.8	0	0.8	0	0	0.8	0.8	-1	-0.8
SLE-F-Gr.3-MaxML (P)	Gr.3	MaxML (P)	1	1	1	1	1	0	0	0.8	0.8	0	0	0.4	0	0.4	0.4	0	0.4	0	0	0.8	0.8	-1	-0.8
SLE-QP	\	\	1	1	1	1	1	0	0	0	0	0	0	0	0	0	0	0	0	0	0	0	0	0	0

Tabella 14 – Combinazioni di carico

8 CRITERI DI VERIFICA

Nelle pagine che seguono si riportano le verifiche strutturali previste dalla Normativa di riferimento allo SLU e allo SLE.

8.1 VERIFICA AGLI SLU: PRESSOFLESSIONE E TAGLIO

Le verifiche a pressoflessione vengono condotte confrontando le resistenze ultime e le sollecitazioni massime agenti, valutando il corrispondente fattore di sicurezza (CS) come rapporto tra la sollecitazione resistente e la massima agente.

8.1.1 Verifica a pressoflessione

Le verifiche flessionali allo SLU sono state eseguite adottando le seguenti ipotesi:

- Conservazione delle sezioni piane;
- Perfetta aderenza tra acciaio e calcestruzzo;
- Resistenza a trazione del calcestruzzo nulla;
- Rottura del calcestruzzo determinata dal raggiungimento della sua capacità deformativa ultima a compressione;
- Rottura dell'armatura tesa determinata dal raggiungimento della sua capacità deformativa ultima;

Le tensioni nel calcestruzzo e nell'armatura sono state dedotte a partire dalle deformazioni utilizzando i rispettivi diagrammi tensione-deformazione.

Per quanto attiene la legge σ - ϵ del calcestruzzo si è utilizzata una curva parabola-rettangolo, considerando solo la porzione compressa e con $\epsilon_{c2}=0,2\%$ ed $\epsilon_{cu}=0,35\%$.

Per quanto riguarda l'acciaio si è assunto un diagramma bilineare elastico-perfettamente elastico finito con $\epsilon_{cu}=1,0\%$.

8.1.2 Verifica a taglio

La verifica allo stato limite ultimo per azioni di taglio è condotta secondo quanto prescritto dalla norma UNI EN 1992-1-1:2005, per elementi con armatura a taglio verticali.

Si fa, pertanto, riferimento ai seguenti valori della resistenza di calcolo:

- $V_{Rd,c} = \max \left\{ \left[C_{Rd,c} \cdot k \cdot (100 \cdot \rho_1 \cdot f_{ck})^{1/3} + k_1 \cdot \sigma_{cp} \right] \cdot b_w \cdot d; (v_{min} + k_1 \cdot \sigma_{cp}) \cdot b_w \cdot d \right\}$, resistenza di calcolo dell'elemento privo di armatura a taglio
- $V_{Rds} = \frac{A_{sw}}{s} \cdot z \cdot f_{ywd} \cdot \cot \theta$, valore di progetto dello sforzo di taglio che può essere sopportato dall'armatura a taglio alla tensione di snervamento
- $V_{Rdmax} = \frac{\alpha_{cw} \cdot b_w \cdot z \cdot v_1 \cdot f_{cd}}{\cot \theta + \tan \theta}$, valore di progetto del massimo sforzo di taglio che può essere sopportato dall'elemento, limitato dalla rottura delle bielle compresse.

Nelle espressioni precedenti, i simboli hanno i seguenti significati:

- $k = 1 + \sqrt{\frac{200}{d}} \leq 2,0$ con d in mm
- $\rho_l = \frac{A_{sl}}{b_w \cdot d} \leq 0,02$
- A_{sl} è l'area dell'armatura tesa
- b_w è la larghezza minima della sezione in zona tesa
- $\sigma_{cp} = \frac{N_{Ed}}{A_c} < 0,2 \cdot f_{cd}$
- N_{Ed} è la forza assiale nella sezione dovuta ai carichi
- A_c è l'area della sezione di calcestruzzo
- $C_{Rd,c} = \frac{0,18}{\gamma_c}$
- $k_1 = 0,15$
- $v_{min} = 0,035 \cdot k^{3/2} \cdot f_{ck}^{1/2}$
- $v = 0,5$ per calcestruzzi fino a C70/85
- $1 \leq \cot\theta \leq 2,5$
- A_{sw} è l'area della sezione trasversale dell'armatura a taglio
- s è il passo delle staffe
- f_{ywd} è la tensione di snervamento di progetto dell'armatura a taglio
- $v_1 = v$ è il coefficiente di riduzione della resistenza del calcestruzzo fessurato per taglio
- α_{cw} è un coefficiente che tiene conto dell'interazione tra la tensione nel corrente compresso e qualsiasi tensione di compressione assiale.

8.2 VERIFICA AGLI SLE: LIMITAZIONE DELLE TENSIONI E FESSURAZIONE

Il controllo delle tensioni nei materiali viene effettuato supponendo una legge costitutiva tensioni-deformazioni di tipo lineare.

8.2.1 Verifica di fessurazione

In accordo con quanto riportato al paragrafo 5.1, si adotta il limite $w_1 = 0.2$ mm per tutti gli elementi strutturali analizzati nella presente relazione.

 ITALFERR GRUPPO FERROVIE DELLO STATO ITALIANE	LINEA PESCARA - BARI RADDOPPIO TRATTA FERROVIARIA TERMOLI - LESINA LOTTI 2 e 3 – RADDOPPIO TERMOLI - RIPALTA					
	V113 - Ponte dal km 21+573,500 a km 21+589,500: Relazione di Spalla S2	COMMESSA L102	LOTTO 02D78	CODIFICA CL	DOCUMENTO V11304002	REV. B

8.2.2 Verifica delle tensioni di esercizio

In accordo con la normativa ferroviaria, che pone limiti tensionali più severi rispetto a quanto prescritto dal “MANUALE DI PROGETTAZIONE DELLE OPERE CIVILI”, la massima tensione di compressione del cls deve rispettare la limitazione:

- $\sigma_c < 0.55 f_{ck}$ per combinazione caratteristica (rara);
- $\sigma_c < 0.40 f_{ck}$ per combinazione quasi permanente;
- per spessori minori di 5 cm, le tensioni normali limite di esercizio sono ridotte del 30%.

La massima tensione di trazione dell'acciaio deve rispettare la limitazione:

- $\sigma_s < 0.75 f_{yk}$ per combinazione caratteristica (rara).

9 MODELLO DI CALCOLO

Le sollecitazioni globali che le spalle ricevono dall'impalcato, sono ottenute dai modelli di calcolo globali implementati in Midas Civil 2016. A tali sollecitazioni sono aggiunti i pesi propri degli elementi strutturali, del terreno di riempimento della spalla, le spinte del terreno di rilevato e, in condizioni sismiche, le masse.

Il modello della struttura è stato implementato in un foglio di calcolo preparato ad hoc.

Vengono schematizzate ed analizzate le singole parti della struttura, a partire dal muro paraghiaia, muro frontale e muri laterali che vengono modellati come delle mensole incastrate alla base.

Il solettone di fondazione viene considerato una piastra rigida su pali.

Per il terreno di riempimento si considera lo standard per rilevati ferroviari e si assegnano le seguenti caratteristiche meccaniche:

Parametri Geotecnici		
γ	ϕ'	c'
[kN/m ³]	[°]	[kPa]
20	38	0

Tabella 15 – Parametri geotecnici terreno di riempimento

9.1 CONDIZIONI STATICHE

Le spinte del terreno a monte degli elementi verticali della spalla sono calcolate con la teoria di Rankine, con distribuzione triangolare delle tensioni e conseguente risultante della spinta al metro pari a:

$$S = \frac{1}{2} \cdot k_0 \cdot \gamma \cdot H^2$$

Tale spinta è applicata ad 1/3 dal basso.

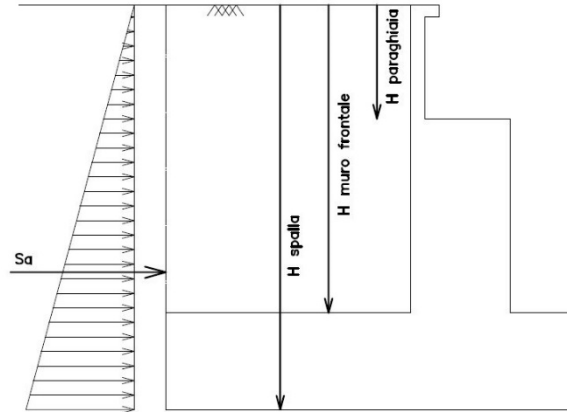


Figura 8: Schema per il calcolo degli effetti della spinta statica del terreno

Si deve notare che essendo presente una fondazione su pali si ipotizza che la spalla sia impedita di traslare rispetto al terreno. La spinta sia in condizioni di esercizio che in condizioni sismiche viene calcolata con il coefficiente di spinta in quiete k_0 .

Per considerare la presenza di un sovraccarico da traffico gravante sulla spalla e a tergo di essa, si considera un carico uniformemente distribuito di lunghezza indefinita con valore pari a $q=52.08 \text{ KN/m}^2$ (treno di carico LM71 diffuso in direzione trasversale su una lunghezza di 3 m: 250/1.6/3) non amplificato per il coefficiente dinamico. Il valore della spinta risultante al metro è dunque pari a:

$$S = k_0 \cdot q \cdot H$$

con il punto di applicazione posizionato a metà dell'altezza dell'elemento su cui insiste.

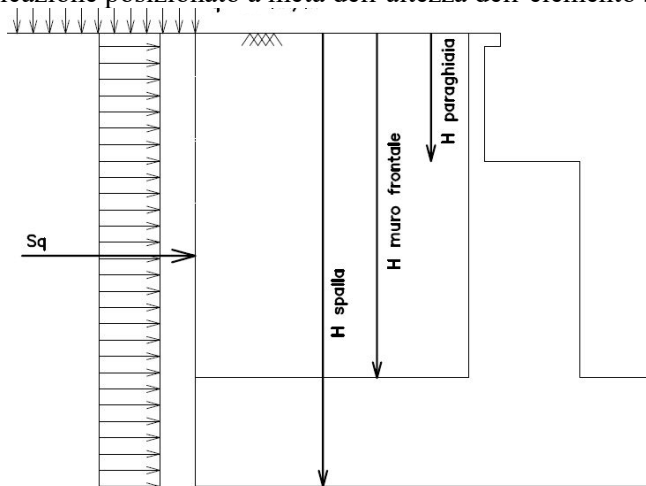


Figura 9: Schema per il calcolo degli effetti della spinta dovuta al sovraccarico accidentale

9.2 CONDIZIONI SISMICHE

In condizione sismica si considera un incremento della spinta del terreno rispetto alla condizione statica in esercizio. La sovraspinta sismica viene calcolata con la teoria di Wood, risultando in un valore di spinta al metro pari a:

$$\Delta S_{ae} = k_h \cdot \gamma \cdot H^2$$

da applicare ad una quota pari ad H/2 del muro.

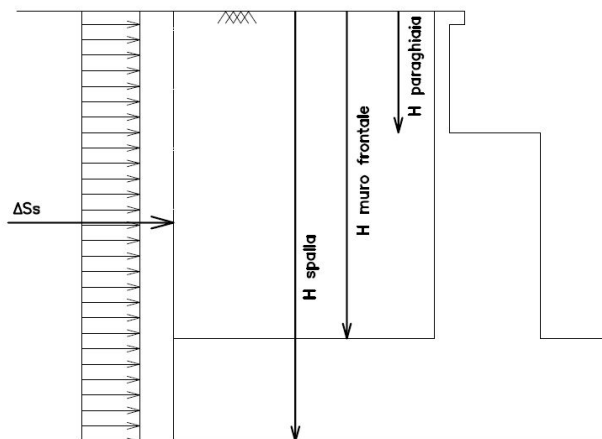


Figura 10: Schema per il calcolo degli effetti della sovraspinta sismica

In fase sismica si devono, inoltre, considerare le azioni orizzontali e verticali agenti sulla spalla dovute all'inerzia delle parti in calcestruzzo e del rinterro compreso tra i muri andatori. Le risultanti orizzontali e verticali sono rispettivamente pari a:

$$F_h = k_h \cdot W \text{ e } F_v = k_v \cdot W$$

dove i coefficienti k_h e k_v sono calcolati come esposto al paragrafo 7.11.6 delle NTC08 risultando pari a:

$$k_h = \beta_m \cdot (a_{max}/g)$$

$$k_v = \pm 0.5 \cdot k_h$$

in cui risulta $a_{max} = S_s \cdot S_t \cdot a_g$.

Il coefficiente β_m è stato considerato unitario, non essendo la spalla libera di traslare rispetto al terreno.

Eccentricità trasversali appoggi

eT1	-3.6 m	Appoggio 1
eT2	-1.2 m	Appoggio 2
eT3	+1.2 m	Appoggio 3
eT4	+3.6 m	Appoggio 4

 ITALFERR GRUPPO FERROVIE DELLO STATO ITALIANE	LINEA PESCARA - BARI RADDOPPIO TRATTA FERROVIARIA TERMOLI - LESINA LOTTI 2 e 3 – RADDOPPIO TERMOLI - RIPALTA					
	V113 - Ponte dal km 21+573,500 a km 21+589,500: Relazione di Spalla S2	COMMESSA L102	LOTTO 02D78	CODIFICA CL	DOCUMENTO V11304002	REV. B

10 VERIFICA DELLA SPALLA MOBILE S02

Il modello a mensola utilizzato per il calcolo e la verifica dell'elevazione delle spalle è quello descritto nel paragrafo 9. Tutti i muri sono considerati sconnessi fra loro per la valutazione delle sollecitazioni alla base e quindi le azioni provenienti dal modello telaio del viadotto sono applicate solamente al muro frontale. Tale schema pur risultando cautelativo, non fornisce sovrastime eccessive nel calcolo dei quantitativi di armatura previsti.

Nelle tabelle riportate nei successivi paragrafi, i valori delle risultanti delle azioni trasmesse dagli impalcati agli apparecchi di appoggio di estremità sono indicati con:

- T_L = risultante delle azioni orizzontali dirette lungo l'asse longitudinale dell'impalcato (taglio longitudinale);
- T_T = risultante delle azioni orizzontali dirette lungo l'asse trasversale dell'impalcato (taglio trasversale);
- N = risultante delle azioni verticali (sforzo normale);
- M_T = risultante delle azioni flettenti che provocano flessione nel piano ortogonale all'asse longitudinale dell'impalcato (momento trasversale);
- M_L = risultante delle azioni flettenti che provocano flessione nel piano parallelo all'asse longitudinale dell'impalcato (momento longitudinale).

Di seguito si riportano le modalità di calcolo delle sollecitazioni e le verifiche di resistenza nei diversi elementi.

10.1 MURO FRONTALE

Il muro frontale della spalla in esame riceve le azioni provenienti da una campata con travi a cassoncino in c.a.p. da 25 m e presenta una connessione tipo "appoggio fisso", secondo lo schema riportato qui di seguito.



Figura 11 – Schema di appoggi travi a cassoncino in c.a.p.

LATO APPOGGI LONGITUDINALI SCORREVOLI																															
1							2							3							4										
Node	Load	FX (kN)	FY (kN)	FZ (kN)	MX (kN*m)	MY (kN*m)	MZ (kN*m)	Node	Load	FX (kN)	FY (kN)	FZ (kN)	MX (kN*m)	MY (kN*m)	MZ (kN*m)	Node	Load	FX (kN)	FY (kN)	FZ (kN)	MX (kN*m)	MY (kN*m)	MZ (kN*m)	Node	Load	FX (kN)	FY (kN)	FZ (kN)	MX (kN*m)	MY (kN*m)	MZ (kN*m)
601	G1	0	0	977	0	0	0	602	G1	0	0	633	0	0	0	603	G1	0	0	632	0	0	0	604	G1	0	0	977	0	0	0
601	G2,1	0	0	356	0	0	0	602	G2,1	0	0	464	0	0	0	603	G2,1	0	0	464	0	0	0	604	G2,1	0	0	356	0	0	0
601	G2,2	0	0	109	0	0	0	602	G2,2	0	0	-28	0	0	0	603	G2,2	0	0	-28	0	0	0	604	G2,2	0	0	109	0	0	0
601	G2,3	0	0	90	0	0	0	602	G2,3	0	0	22	0	0	0	603	G2,3	0	0	22	0	0	0	604	G2,3	0	0	90	0	0	0
601	G2,4	0	0	253	0	0	0	602	G2,4	0	1	-53	0	0	0	603	G2,4	0	0	-53	0	0	0	604	G2,4	0	0	253	0	0	0
601	Q3,a B1-SW2	0	0	42	0	0	0	602	Q3,a B1-SW2	0	0	32	0	0	0	603	Q3,a B1-SW2	0	0	5	0	0	0	604	Q3,a B1-SW2	0	0	36	0	0	0
601	Q3,a B1-LM71	0	0	46	0	0	0	602	Q3,a B1-LM71	0	0	35	0	0	0	603	Q3,a B1-LM71	0	0	6	0	0	0	604	Q3,a B1-LM71	0	0	40	0	0	0
601	Q3,a B2-LM71	0	0	1	0	0	0	602	Q3,a B2-LM71	0	0	45	0	0	0	603	Q3,a B2-LM71	0	0	74	0	0	0	604	Q3,a B2-LM71	0	0	7	0	0	0
601	Q3,f B1-SW2	0	0	45	0	0	0	602	Q3,f B1-SW2	0	0	34	0	0	0	603	Q3,f B1-SW2	0	0	6	0	0	0	604	Q3,f B1-SW2	0	0	39	0	0	0
601	Q3,f B1-LM71	0	0	28	0	0	0	602	Q3,f B1-LM71	0	0	21	0	0	0	603	Q3,f B1-LM71	0	0	4	0	0	0	604	Q3,f B1-LM71	0	0	24	0	0	0
601	Q3,f B2-LM71	0	0	1	0	0	0	602	Q3,f B2-LM71	0	0	27	0	0	0	603	Q3,f B2-LM71	0	0	45	0	0	0	604	Q3,f B2-LM71	0	0	4	0	0	0
601	Q4 B1-SW2	0	0	0	0	0	0	602	Q4 B1-SW2	0	0	0	0	0	0	603	Q4 B1-SW2	0	0	0	0	0	0	604	Q4 B1-SW2	0	0	0	0	0	0
601	Q4 B1-LM71	0	0	0	0	0	0	602	Q4 B1-LM71	0	0	0	0	0	0	603	Q4 B1-LM71	0	0	0	0	0	0	604	Q4 B1-LM71	0	0	0	0	0	0
601	Q4 B2-LM71	0	0	0	0	0	0	602	Q4 B2-LM71	0	0	0	0	0	0	603	Q4 B2-LM71	0	0	0	0	0	0	604	Q4 B2-LM71	0	0	0	0	0	0
601	Q5 B1-SW2	0	0	-23	0	0	0	602	Q5 B1-SW2	0	-48	-13	0	0	0	603	Q5 B1-SW2	0	0	32	0	0	0	604	Q5 B1-SW2	0	0	4	0	0	0
601	Q5 B1-LM71	0	0	-25	0	0	0	602	Q5 B1-LM71	0	-52	-14	0	0	0	603	Q5 B1-LM71	0	0	35	0	0	0	604	Q5 B1-LM71	0	0	5	0	0	0
601	Q5 B2-LM71	0	0	-32	0	0	0	602	Q5 B2-LM71	0	-52	-8	0	0	0	603	Q5 B2-LM71	0	0	41	0	0	0	604	Q5 B2-LM71	0	0	-2	0	0	0
601	Q6	0	0	-192	0	0	0	602	Q6	0	-304	79	0	0	0	603	Q6	0	0	163	0	0	0	604	Q6	0	0	136	0	0	0
601	LM71_B1(max)	0	0	54	0	0	0	602	LM71_B1(max)	0	0	171	0	0	0	603	LM71_B1(max)	0	0	1257	0	0	0	604	LM71_B1(max)	0	0	963	0	0	0
601	LM71_B2(max)	0	0	437	0	0	0	602	LM71_B2(max)	0	0	1178	0	0	0	603	LM71_B2(max)	0	0	397	0	0	0	604	LM71_B2(max)	0	0	96	0	0	0
601	SW2_B1(max)	0	0	48	0	0	0	602	SW2_B1(max)	0	0	183	0	0	0	603	SW2_B1(max)	0	0	1236	0	0	0	604	SW2_B1(max)	0	0	1161	0	0	0
601	Fa,G	11	0	0	0	0	0	602	Fa,G	6	0	0	0	0	0	603	Fa,G	6	0	0	0	0	0	604	Fa,G	11	0	0	0	0	0
601	Fa,Q	15	0	0	0	0	0	602	Fa,Q	41	0	0	0	0	0	603	Fa,Q	49	0	0	0	0	0	604	Fa,Q	38	0	0	0	0	0

Tabella 16 – Scarichi sugli appoggi per le singole condizioni di carico

Dagli scarichi ottenuti per le singole condizioni di carico si ottengono quindi le sollecitazioni a quota testa muro considerando le eccentricità dei singoli appoggi.

TESTA MURO FRONTALE					
Combinazioni	N KN	Mlong kNm	Mtrasv kNm	Tlong KN	Ttrasv KN
SLU-Gr.1(N)	14789	0	5108	252	423
SLU-Gr.3(N)	14937	0	4850	252	348
SLU-Gr.1(P)	15086	0	6112	252	417
SLU-Gr.3(P)	15267	0	5882	252	344
SLU-Gr.1-1SW/2	11936	0	8970	149	341
SLU-Gr.3-1SW/2	12025	0	8819	149	306
SLU-Gr.1-MaxML (P)	8037	0	1147	46	272
SLU-Gr.3-MaxML (P)	8037	0	1147	46	272
SLU-Gr.1(N)-Gk=1.00	12566	0	5110	240	424
SLU-Gr.3(N)-Gk=1.00	12715	0	4852	240	348
SLU-Gr.1(P)-Gk=1.00	12863	0	6113	240	417
SLU-Gr.3(P)-Gk=1.00	13044	0	5883	240	345
SLU-Gr.1-1SW/2-Gk=1.00	9714	0	8971	137	341
SLU-Gr.3-1SW/2-Gk=1.00	9802	0	8821	137	307
SLU-Gr.1-MaxML (P)-Gk=1.00	5815	0	1148	34	272
SLU-Gr.3-MaxML (P)-Gk=1.00	5815	0	1148	34	272
SLV-EL+0.3ET	6644	0	1452	34	556
SLV-0.3EL+ET	6644	0	3400	34	1857
SLE-C-Gr.1(N)	10415	0	3496	176	286
SLE-C-Gr.3(N)	10517	0	3318	176	233
SLE-C-Gr.1(P)	10620	0	4188	176	281
SLE-C-Gr.3(P)	10745	0	4030	176	231
SLE-C-Gr.1-1SW/2	8448	0	6159	105	229
SLE-C-Gr.3-1SW/2	8509	0	6056	105	205
SLE-C-Gr.1-MaxML (P)	5759	0	764	34	181
SLE-C-Gr.3-MaxML (P)	5759	0	764	34	181
SLE-F-Gr.1(N)	9372	0	2181	148	83
SLE-F-Gr.3(N)	9454	0	2039	148	41
SLE-F-Gr.1(P)	9536	0	2735	148	79
SLE-F-Gr.3(P)	9636	0	2608	148	39
SLE-F-Gr.1-1SW/2	7798	0	4312	91	37
SLE-F-Gr.3-1SW/2	7847	0	4229	91	18
SLE-F-Gr.1-MaxML (P)	5647	0	-4	34	1
SLE-F-Gr.3-MaxML (P)	5647	0	-4	34	1
SLE-QP	5647	0	-4	0	1

Tabella 17 – Scarichi quota testa muro frontale

Per la verifica del muro frontale, a quota spiccato, tali azioni possono essere considerate uniformemente distribuite in quanto l'altezza del muro frontale è tale che nell'ipotesi di ripartizione a 45°, tali scarichi si ripartiscono uniformemente alla base del muro

Ai carichi prima riportati, si aggiungono il peso proprio del muro frontale, del muro paraghiaia e la spinta del terreno di riempimento.

MURO FRONTALE	
H Muro Frontale	6.50 m
Spessore Muro Frontale	3.00 m
Lunghezza Muro Frontale	13.5 m
Altezza Muro Paraghiaia	2.90 m
Spessore Muro Paraghiaia	0.60 m
Peso Muro Frontale	6581 kN
Peso Muro Paraghiaia	587 kN
Eccentr. appoggi - muro frontale (base)	0.70 m
Eccentr. paraghiaia - muro frontale (base)	-1.20 m
Peso Specifico Terreno di Rilevato	20 kN/mc
Angolo di Attrito Terreno di Rilevato	38 °
Coefficiente di spinta a riposo K_0	0.384
Altezza del rilevato	9.6 m
Spinta a riposo	3932 kN
Sovraccarico accidentale da traffico	52.08 kN/mq
Accelerazione sismica di base a_g	0.242
Coefficiente stratigrafico SS	1.16
Coefficiente topografico ST	1.00
Accelerazione orizzontale massima attesa a_{max}	0.281
β_m (massa cls spalla)	1.000
K_h (cls spalla) =	0.281
K_v (cls spalla)=	0.141
β_m (massa terreno)	1.000
K_h (terreno) =	0.281
K_v (terreno)=	0.141
Spinta in condizione sismiche (wood)	5758 kN
Inerzia del Muro Frontale (H)	1852 kN
Inerzia del Muro Paraghiaia (H)	165 kN
Inerzia del Muro Frontale (V)	926 kN
Inerzia del Muro Paraghiaia (V)	83 kN

Tabella 18 – Valutazioni pesi e spinte agenti sul muro frontale

Si ottengono quindi le seguenti sollecitazioni, con riferimento alle combinazioni maggiormente significative.

BASE MURO FRONTALE					
Combinazioni	N KN	Mlong kNm	Mtrasv kNm	Tlong KN	Ttrasv KN
SLU-Gr.1(N)	24466	42867	7861	8652	423
SLU-Gr.3(N)	24615	42971	7110	8652	348
SLU-Gr.1(P)	24763	43075	8821	8652	417
SLU-Gr.3(P)	24944	43202	8120	8652	344
SLU-Gr.1-1SW/2	21613	32778	11187	7003	341
SLU-Gr.3-1SW/2	21702	32840	10811	7003	306
SLU-Gr.1-MaxML (P)	17715	36802	2913	8446	272
SLU-Gr.3-MaxML (P)	17715	36802	2913	8446	272
SLU-Gr.1(N)-Gk=1.00	19735	37078	7865	7264	424
SLU-Gr.3(N)-Gk=1.00	19883	37182	7113	7264	348
SLU-Gr.1(P)-Gk=1.00	20032	37285	8825	7264	417
SLU-Gr.3(P)-Gk=1.00	20213	37412	8124	7264	345
SLU-Gr.1-1SW/2-Gk=1.00	16882	26989	11190	5615	341
SLU-Gr.3-1SW/2-Gk=1.00	16971	27051	10815	5615	307
SLU-Gr.1-MaxML (P)-Gk=1.00	12983	31013	2917	7058	272
SLU-Gr.3-MaxML (P)-Gk=1.00	12983	31013	2917	7058	272
SLV-EL+0.3ET	13813	39140	7269	7810	1162
SLV-0.3EL+ET	13813	14658	22806	2367	3875
SLE-C-Gr.1(N)	17584	30549	5353	6241	286
SLE-C-Gr.3(N)	17686	30621	4835	6241	233
SLE-C-Gr.1(P)	17788	30692	6015	6241	281
SLE-C-Gr.3(P)	17913	30780	5532	6241	231
SLE-C-Gr.1-1SW/2	15616	23591	7647	5103	229
SLE-C-Gr.3-1SW/2	15677	23634	7388	5103	205
SLE-C-Gr.1-MaxML (P)	12927	26366	1941	6099	181
SLE-C-Gr.3-MaxML (P)	12927	26366	1941	6099	181
SLE-F-Gr.1(N)	16541	27587	2718	5786	83
SLE-F-Gr.3(N)	16622	27644	2304	5786	41
SLE-F-Gr.1(P)	16704	27701	3248	5786	79
SLE-F-Gr.3(P)	16804	27771	2861	5786	39
SLE-F-Gr.1-1SW/2	14966	22020	4553	4876	37
SLE-F-Gr.3-1SW/2	15016	22055	4346	4876	18
SLE-F-Gr.1-MaxML (P)	12815	24240	3	5672	1
SLE-F-Gr.3-MaxML (P)	12815	24240	3	5672	1
SLE-QP	12815	15830	3	3932	1

Tabella 19 – Sollecitazioni alla base del muro frontale

Di seguito si riportano le verifiche di resistenza con riferimento ad una striscia di un metro per le combinazioni che provocano il massimo e il minimo sforzo normale, il massimo momento longitudinale ed il massimo taglio alla base del muro frontale.

Muro	Sezione di verifica		Armatura			
	Base [m]	Altezza [m]	Tesa	Compressa	Taglio	c [cm]
Frontale	1	3.0	I strato: 1 ϕ 26/20 II strato: 1 ϕ 26/20	1 ϕ 26/20	-	8

Tabella 20 – Geometria sezione e armatura del muro frontale

BASE MURO FRONTALE - Verifiche allo SLU						
Combinazioni		N kN/m	Mlong kNm/m	Tlong kN/m	C.S. (NRd, MRd)	C.S. (VRd)
Max N	SLU-Gr.1(P)	1848	3200	641	2.22	1.73
Min N	SLV-EL+0.3ET	962	2297	523	3.12	2.12
Max ML	SLU-Gr.3(P)	1848	3200	641	2.22	1.73
Max VL	SLU-Gr.3(P)	1812	3175	641	2.25	1.73

BASE MURO FRONTALE - Verifiche allo SLE							
Combinazioni		N	Mlong	Tlong	σ_c	σ_s	Wk
		kN/m	kNm/m	kN/m	Mpa	Mpa	mm
RARA	SLE-C-Gr.1(P) - Max N	1327	2280	462	-3.02	79.08	0.0
	SLE-C-Gr.3-1SW/2 - Min N	958	1953	452	-2.68	82.62	0.0
	SLE-C-Gr.3(P) - Max ML	1327	2280	462	-3.02	79.08	0.0
FREQ	SLE-F-Gr.1(P) - Max N	1245	2057	429	-2.73	68.92	0.0
	SLE-F-Gr.3-1SW/2 - Min N	949	1796	420	-2.46	71.47	0.0
	SLE-F-Gr.3(P) - Max ML	1245	2057	429	-2.73	68.92	0.0
QP	SLE-QP	949	1173	291	-1.58	28.16	0.0

Tabella 21 – Verifiche del muro frontale

10.2 MURO PARAGHIAIA

In condizioni statiche il muro paraghiaia è sollecitato dalla spinta a riposo del rilevato, dalla spinta dei sovraccarichi accidentali, dai sovraccarichi mobili agenti sulla mensola del muro e dall'azione di frenatura. In condizioni sismiche il muro paraghiaia è sollecitato dalla spinta sismica del rilevato, dalle masse del muro e della mensola.

Nella tabella che segue sono indicati i parametri geometrici, meccanici e di carico utilizzati nell'analisi. Il modello di calcolo utilizzato è quello di mensola incastrata al muro frontale.

MURO PARAGHIAIA		
Peso Muro Paraghiaia	44	KN/m
Altezza Muro Paraghiaia	2.9	m
Spessore Muro Paraghiaia	0.6	m
Coefficiente di spinta a riposo K_0	0.384	
Coefficiente di spinta attiva K_a	0.238	
Peso Specifico Terreno di Rilevato	20.0	kN/mc
Sovraccarico accidentale da traffico	52.08	kN/mq
Angolo di Attrito Terreno di Rilevato	38.0	
Spinta a riposo	92.7	kN/m
Spinta in condizione sismiche (wood)	54.1	kN/m
Inerzia del Muro Paraghiaia /m	12.2	kN/m

Tabella 22 – Valutazioni pesi e spinte agenti sul muro paraghiaia

Muro	Sezione di verifica		Armatura			
	Base [m]	Altezza [m]	Tesa	Compressa	Taglio	c [cm]
Paraghiaia	1	0.6	1 ϕ 16/20	1 ϕ 14/20	-	7

Tabella 23 – Geometria sezione e armatura del muro paraghiaia

VERIFICA DI RESISTENZA ALLO SLU/SLV					
Combinazione	N	M	V	C.S. (NRd, MRd)	C.S. (VRd)
	KN/m	kNm/m	KN/m		
SLU	59	173	128	1.87	1.94
SLV	44	201	161	1.63	1.54

VERIFICHE DI ESERCIZIO						
Combinazione	N	M	V	σ_c	σ_s	Wk
	KN/m	kNm/m	KN/m	Mpa	Mpa	mm
SLE_RARA	44	125	93	-3.12	125.7	0

Tabella 24 – Verifiche del muro paragliaia

10.3 MURI LATERALI

In questo paragrafo si riporta il calcolo dei muri laterali della spalla. Tali muri sono sollecitati essenzialmente dalle spinte del terreno di riempimento all'interno della spalla e dei sovraccarichi presenti su di esso in condizioni statiche e sismiche.

Nella tabella che segue sono indicati i parametri geometrici, meccanici e di carico utilizzati nell'analisi. Il modello di calcolo utilizzato è quello di mensola incastrata al muro frontale.

MURI LATERALI	
Muro laterale H1	9.40 m
Muro laterale s1	1.20 m
Altezza totale muri laterali	10.4 m
Spessore medio Muri Laterali	1.20 m
Lunghezza Massima muri laterali	8.1 m
Peso Muro laterale (singolo)	2284 kN
Peso totale Muri laterali	4568 kN
Spinta a riposo (con 100% sovraccarichi)	542.4 kN/m
Spinta a riposo (con 50% sovraccarichi)	448.3
Spinta in condizione sismiche (wood)	518.8 kN/m
Inerzia del Muro laterale /m	79 kN/m

Tabella 25 – Valutazioni pesi e spinte agenti sui muri laterali

Muro	Sezione di verifica		Armatura			
	Base [m]	Altezza [m]	Tesa	Compressa	Taglio	c [cm]
Laterale	1	1.2	I strato 1 ϕ 30/15 II strato 1 ϕ 30/15	1 ϕ 26/15	Spilli ϕ 12/20x40	8

Tabella 26 – Geometria sezione e armatura dei muri laterali

VERIFICA DI RESISTENZA ALLO SLU/SLV					
Combinazione	N	M	V	C.S. (NRd, MRd)	C.S. (VRd)
	KN/m	kNm/m	KN/m		
SLU	381	2749	732	1.55	1.94
SLV	282	4306	1046	1.40	1.36

VERIFICHE DI ESERCIZIO						
Combinazione	N	M	V	σ_c	σ_s	Wk
	KN/m	kNm/m	KN/m	Mpa	Mpa	mm
SLE_RARA	282	2037	448	-7.58	199.3	0.100

Tabella 27 – Verifiche dei muri laterali

11 VERIFICA DELLE FONDAZIONI

Nei seguenti paragrafi sono riportate le verifiche strutturali e geotecniche del sistema fondazionale.

11.1 PLINTO DI FONDAZIONE

In questo paragrafo si riporta la determinazione delle sollecitazioni in quota testa pali che si ottengono sommando, alle azioni provenienti dall'impalcato, la risultante e il momento risultante dei pesi della struttura, del terreno interno alla spalla e delle spinte dovute al rilevato rispetto al baricentro del plinto. In condizioni sismiche si è tenuto conto dell'incremento di spinta delle inerzie

Nella tabella che segue sono indicati i parametri geometrici, meccanici e di carico del plinto utilizzati nell'analisi per il calcolo della risultante e momento risultante rispetto al baricentro del plinto di fondazione. L'azione orizzontale derivante dall'impalcato è stata considerata sia con verso concorde che discorde alla spinta del terreno di rinterro.

PLINTO DI FONDAZIONE	
Eccentricità long Muri laterali -Plinto	-1.95 m
Peso Muro Frontale	6581 kN
Ecc. Long. Muro Frontale - Plinto	3.60 m
Ecc.Appoggi Plinto	4.30 m
Peso Muro Paraghiaia	587 m
Ecc. Long. Muro Paraghiaia - Plinto	2.40 kN
Peso Terreno Interno	19194 kN
Peso Accidentali	6417 kN
Eccentricità long Terreno -Plinto	-1.95 m
Spessore Plinto	2.5 m
Lunghezza plinto	12 m
Larghezza plinto	16.5 m
Peso plinto di fondazione	12375
Altezza Rilevato+H plinto	12.1 m
Spinta a riposo rilevato	7597 kN
Spinta a riposo sovraccarichi	3270 kN
Spinta in condizione sismiche (wood)	11126 kN
Inerzia dei muri laterali (H)	1286 kN
Inerzia dei muri laterali (V)	643 kN
Inerzia plinto di fondazione (H)	3483 kN
Inerzia plinto di fondazione (V)	1741 kN
Inerzia rilevato interno(H)	5402 kN
Inerzia rilevato interno (V)	2701 kN

Tabella 28 – Valutazioni pesi e spinte agenti sul plinto di fondazione

SOLLECITAZIONI BASE PLINTO							
Combo	N [kN]	V _L [kN]	V _T [kN]	M _L [kNm]	M _T [kNm]	M _{L,ΔM} [kNm]	M _{T,ΔM} [kNm]
SLU-Gr.1(N)	-82556	15248	423	78554	8920	122530	10141
SLU-Gr.3(N)	-82705	15248	348	79191	7979	123167	8981
SLU-Gr.1(P)	-82853	15248	417	79830	9863	123805	11066
SLU-Gr.3(P)	-83034	15248	344	80609	8981	124585	9974
SLU-Gr.1-1SW/2	-75051	12775	341	65360	12039	102202	13023
SLU-Gr.3-1SW/2	-75140	12775	306	65742	11577	102584	12461
SLU-Gr.1-MaxML (P)	-75805	15042	272	47668	3593	91050	4376
SLU-Gr.3-MaxML (P)	-75805	15042	272	47668	3593	91050	4376
SLU-Gr.1(N)-Gk=1.00	-65177	12578	424	65599	8924	101873	10147
SLU-Gr.3(N)-Gk=1.00	-65325	12578	348	66236	7983	102510	8987
SLU-Gr.1(P)-Gk=1.00	-65473	12578	417	66875	9868	103148	11071
SLU-Gr.3(P)-Gk=1.00	-65655	12578	345	67654	8985	103928	9979
SLU-Gr.1-1SW/2-Gk=1.00	-57672	10104	341	52405	12044	81545	13029
SLU-Gr.3-1SW/2-Gk=1.00	-57761	10104	307	52787	11582	81927	12466
SLU-Gr.1-MaxML (P)-Gk=1.00	-58425	12371	272	34713	3597	70393	4382
SLU-Gr.3-MaxML (P)-Gk=1.00	-58425	12371	272	34713	3597	70393	4382
SLV-EL+0.3ET	-51778	23348	4213	140169	26025	207504	38175
SLV-0.3EL+ET	-51778	7028	14046	47399	85333	67668	125841
SLE-C-Gr.1(N)	-60138	11042	286	55773	6067	87619	6891
SLE-C-Gr.3(N)	-60240	11042	233	56213	5418	88059	6091
SLE-C-Gr.1(P)	-60343	11042	281	56653	6718	88499	7529
SLE-C-Gr.3(P)	-60468	11042	231	57190	6109	89036	6776
SLE-C-Gr.1-1SW/2	-54962	9336	229	46674	8219	73600	8879
SLE-C-Gr.3-1SW/2	-55023	9336	205	46937	7900	73863	8491
SLE-C-Gr.1-MaxML (P)	-55482	10900	181	34473	2394	65909	2916
SLE-C-Gr.3-MaxML (P)	-55482	10900	181	34473	2394	65909	2916
SLE-F-Gr.1(N)	-57811	10360	83	51032	2925	80910	3163
SLE-F-Gr.3(N)	-57893	10360	41	51384	2406	81261	2523
SLE-F-Gr.1(P)	-57975	10360	79	51736	3446	81614	3673
SLE-F-Gr.3(P)	-58075	10360	39	52166	2958	82044	3071
SLE-F-Gr.1-1SW/2	-53671	8995	37	43752	4646	69694	4753
SLE-F-Gr.3-1SW/2	-53720	8995	18	43963	4391	69905	4443
SLE-F-Gr.1-MaxML (P)	-54086	10246	1	33992	6	63542	9
SLE-F-Gr.3-MaxML (P)	-54086	10246	1	33992	6	63542	9
SLE-QP	-48953	7597	1	33687	6	55595	9

Tabella 29 – Sollecitazioni ad intradosso plinto (quota testa pali)

Per la valutazione delle sollecitazioni nel plinto di fondazione, è necessario valutare preventivamente le sollecitazioni agenti nei pali di fondazione. Tali sollecitazioni sono state valutate mediante una ripartizione rigida delle sollecitazioni agenti a base plinto. Nel calcolo degli sforzi nei pali si è tenuto del parametro α (vedi paragrafo 4) sia per la valutazione dello sforzo nei pali (effetto della deformabilità a taglio degli stessi pali) sia per la valutazione del momento flettente agente in testa al palo ($M_{Ed} = \alpha V_{Ed}$). La situazione peggiore risulta essere sempre quella sismica.

Si riportano nel seguito le coordinate dei pali di fondazione e per ogni combinazione di carico, le sollecitazioni nei pali sollecitati dal massimo e dal minimo sforzo normale.

Pali												
	1	2	3	4	5	6	7	8	9	10	11	12
z	-4.50	-4.50	-4.50	-4.50	0.00	0.00	0.00	0.00	4.50	4.50	4.50	4.50
y	6.75	2.25	-2.25	-6.75	6.75	2.25	-2.25	-6.75	6.75	2.25	-2.25	-6.75
z ²	20.25	20.25	20.25	20.25	0.00	0.00	0.00	0.00	20.25	20.25	20.25	20.25
y ²	45.56	5.06	5.06	45.56	45.56	5.06	5.06	45.56	45.56	5.06	5.06	45.56
W _y	45.00	135.00	-135.00	-45.00	45.00	135.00	-135.00	-45.00	45.00	135.00	-135.00	-45.00
W _z	-36.00	-36.00	-36.00	-36.00	0.00	0.00	0.00	0.00	36.00	36.00	36.00	36.00

Tabella 30 – Numero di pali e coordinate rispetto al baricentro del plinto

SFORZI MASSIMI E MINIMI NEI PALI						
Combo	N _{min}		N _{max}		V _{max}	M _{max}
	Palo	[kN]	Palo	[kN]	[kN]	[kNm]
SLU-Gr.1(N)	4	-10509	9	-3251	1271	3666
SLU-Gr.3(N)	4	-10513	9	-3271	1271	3666
SLU-Gr.1(P)	4	-10589	9	-3219	1271	3666
SLU-Gr.3(P)	4	-10602	9	-3237	1271	3666
SLU-Gr.1-1SW/2	4	-9383	9	-3126	1065	3071
SLU-Gr.3-1SW/2	4	-9388	9	-3135	1065	3071
SLU-Gr.1-MaxML (P)	4	-8943	9	-3691	1254	3616
SLU-Gr.3-MaxML (P)	4	-8943	9	-3691	1254	3616
SLU-Gr.1(N)-Gk=1.00	4	-8487	9	-2376	1049	3025
SLU-Gr.3(N)-Gk=1.00	4	-8491	9	-2397	1049	3024
SLU-Gr.1(P)-Gk=1.00	4	-8567	9	-2345	1049	3024
SLU-Gr.3(P)-Gk=1.00	4	-8580	9	-2363	1049	3024
SLU-Gr.1-1SW/2-Gk=1.00	4	-7361	9	-2251	842	2430
SLU-Gr.3-1SW/2-Gk=1.00	4	-7366	9	-2261	842	2429
SLU-Gr.1-MaxML (P)-Gk=1.00	4	-6921	9	-2816	1031	2974
SLU-Gr.3-MaxML (P)-Gk=1.00	4	-6921	9	-2816	1031	2974
SLV-EL+0.3ET	4	-10927	9	2297	1977	5702
SLV-0.3EL+ET	4	-8991	9	361	1309	3775
SLE-C-Gr.1(N)	4	-7599	9	-2424	920	2655
SLE-C-Gr.3(N)	4	-7601	9	-2439	920	2654
SLE-C-Gr.1(P)	4	-7654	9	-2403	920	2655
SLE-C-Gr.3(P)	4	-7663	9	-2415	920	2654
SLE-C-Gr.1-1SW/2	4	-6822	9	-2338	778	2245
SLE-C-Gr.3-1SW/2	4	-6826	9	-2345	778	2244
SLE-C-Gr.1-MaxML (P)	4	-6519	9	-2728	908	2620
SLE-C-Gr.3-MaxML (P)	4	-6519	9	-2728	908	2620
SLE-F-Gr.1(N)	4	-7135	9	-2500	863	2490
SLE-F-Gr.3(N)	4	-7138	9	-2511	863	2490
SLE-F-Gr.1(P)	4	-7180	9	-2483	863	2490
SLE-F-Gr.3(P)	4	-7187	9	-2492	863	2490
SLE-F-Gr.1-1SW/2	4	-6514	9	-2431	750	2162
SLE-F-Gr.3-1SW/2	4	-6517	9	-2436	750	2162
SLE-F-Gr.1-MaxML (P)	4	-6272	9	-2742	854	2463
SLE-F-Gr.3-MaxML (P)	4	-6272	9	-2742	854	2463
SLE-QP	4	-5624	9	-2535	633	1826

Tabella 31 – Massime e minime sollecitazioni nei pali di fondazione

Il solettone di fondazione viene schematizzato come una trave a mensola caricata dai massimi sforzi normali che si verificano nei pali di fondazione.

Si riportano le verifiche per una fascia di un metro

Sezione di verifica		Armatura		
Base [m]	Altezza [m]	Tesa	Compressa	Taglio
1.0	2.5	1 ϕ 30/20 + 1 ϕ 30/20	1 ϕ 30/20	Spilli ϕ 12/40x40

Tabella 32 – Geometria sezione e armatura del solettone di fondazione

Plinto di fondazione - Verifiche allo SLU					
Combinazioni		Mlong kNm/m	Tlong kN/m	C.S. (NRd, MRd)	C.S. (VRd)
Max N	SLU-Gr.3(P)	2146	784	3.91	1.9
Min N	SLV-0.3EL+ET	5864	793	1.43	1.9

Plinto di fondazione - Verifiche allo SLE						
Combinazioni		Mlong kNm	Tlong kN	σ_c Mpa	σ_s Mpa	Wk mm
RARA	SLE-C-Gr.3(P)	87	157	-0.71	28.27	0.000
	SLE-C-Gr.1-1SW/2	3	102	-0.62	24.86	0.000
FREQ	SLE-F-Gr.3(P)	241	99	-0.85	33.78	0.000
	SLE-F-Gr.1-1SW/2	173	56	-0.78	31.04	0.000
QP	SLE-QP	677	85	-1.22	48.50	0.000

Tabella 33 – Verifiche del plinto di fondazione

11.2 PALI DI FONDAZIONE

Per ricavare le sollecitazioni agenti nei pali di fondazione è stato considerato un modello di plinto rigido, in cui l'azione assiale nei pali viene valutata assumendo una rotazione rigida del plinto (palo impedito di ruotare in testa), tenendo poi conto, in maniera approssimata mediante la definizione di un apposito coefficiente, degli effetti flessionali sui pali dovuti ai carichi trasmessi dalla spalla, come mostrato nelle immagini riportate alla pagina successiva.

Lo sforzo normale nei pali è quindi calcolato come segue:

$$N_i = \frac{N_{Ed}}{n} \pm \frac{(M_{Ed})d_i}{\sum_i d_i^2}$$

Le azioni di taglio sono suddivise equamente tra i pali, mentre il momento agente a quota testa pali è direttamente proporzionale al taglio mediante un coefficiente α (espresso in metri):

$$M_i(V_{Ed}) = \alpha \frac{V_{Ed}}{n}$$

Il coefficiente α dipende principalmente dalle caratteristiche fornisce un valore delo momento sollecitante conservativo. Fissato il diametro del palo, α dipende quindi dalla rigidezza del terreno. Per l'opera in esame sono quindi definiti i seguenti valori:

$$\alpha = 2.884 \text{ m}$$

Per la determinazione del parametro α si è considerata cautelativamente la stratigrafia 1.

Si rimanda alla relazione geotecnica per maggiori dettagli relativi al calcolo di tale parametro.

Le azioni derivanti da questo modello sono quindi confrontate con le curve di capacità portante dei pali di fondazione, già riportate nel presente documento al paragrafo 3.2.

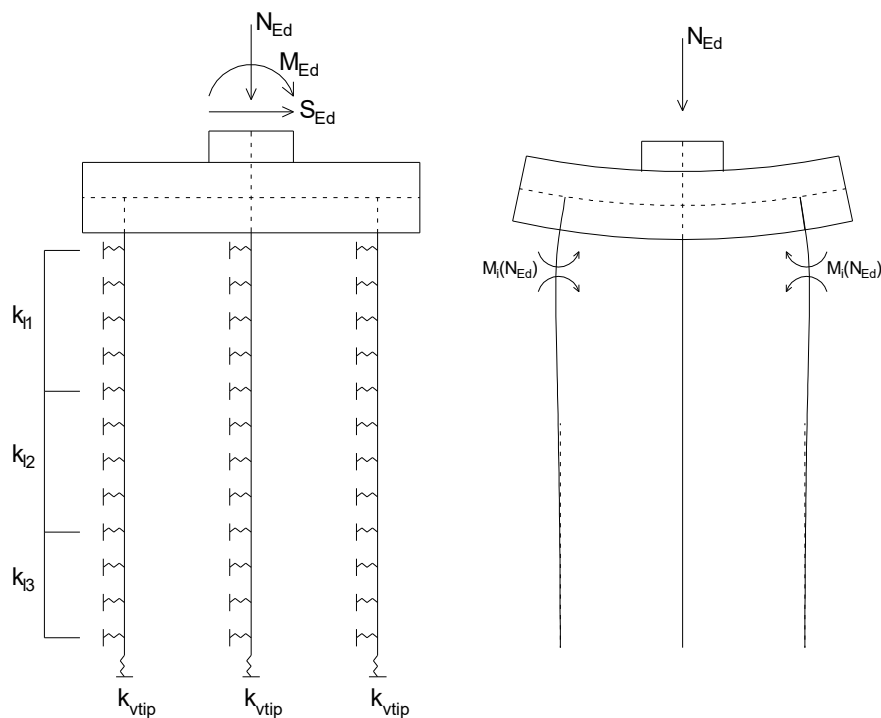


Figura 12 – Modello del plinto su pali ed effetto flessionale su pali dovuto al carico assiale agente sul plinto (a destra)

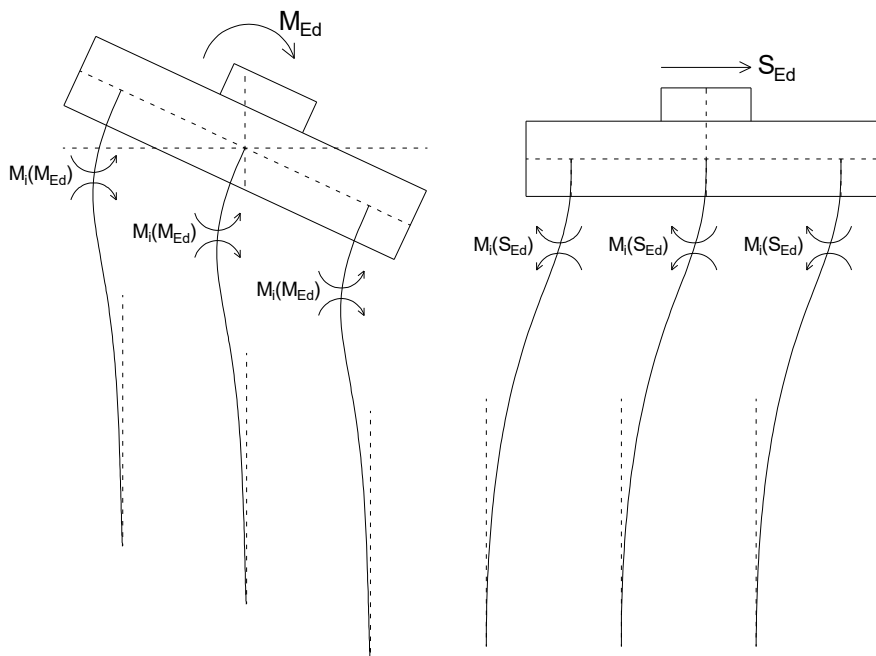


Figura 13 – Effetto flessionale sui pali dovuti al momento flettente (a sinistra) e al taglio (a destra) agenti sul plinto

I pali saranno armati esternamente con 35 coppie di $\phi 32$ longitudinali (70 $\phi 32$). Inoltre si prevede una spirale $\phi 16/10$ (2 bracci resistenti). Tale armatura costituisce la prima gabbia di armatura del palo e si estende per 12 metri a partire dalla testa del palo. Le successive gabbie di armatura potranno essere realizzate con un'armatura longitudinale e trasversale pari alla metà di quella verificata.

Palo	Sezione di verifica		Armatura	
	D [m]		Armatura longitudinale	Taglio
$\Phi 1500$	1.5		2x35 $\phi 32$ (strato esterno)	Spirale $\phi 16/10$

Nota: Per la definizione dell'armatura longitudinale è risultata dimensionante la verifica a carico limite orizzontale

PALO - Verifiche allo SLU						
Combinazioni		N	Mlong	Tlong	C.S. (NRd, MRd)	C.S. (VRd)
		kN	kNm	kN		
Max N	SLV-EL+0.3ET	-10927	5702	1977	2.17	2.4
Min N	SLV-EL+0.3ET	2297	5702	1977	1.84	2.4
Max VL	SLV-EL+0.3ET	2297	5702	1977	1.84	2.4

PALO - Verifiche allo SLE							
Combinazioni		N	Mlong	Tlong	σ_c	σ_s	Wk
		kN	kNm	kN	Mpa	Mpa	mm
RARA	SLE-C-Gr.3(P)	-7663	2654	920	-8.91	42.52	0.013
	SLE-C-Gr.3(P)	-2338	2245	778	-6.59	99.16	0.061
FREQ	SLE-F-Gr.3(P)	-7187	2490	863	-8.42	40.87	0.012
	SLE-F-Gr.3(P)	-2431	2162	750	-6.42	93.39	0.052
QP	SLE-QP	-5624	1826	633	-6.54	30.95	0.000
	SLE-QP	-2535	1826	633	-5.66	74.83	0.029

Tabella 34 – Verifica dei pali di fondazione

11.3 VERIFICHE DI CAPACITÀ PORTANTE

In accordo con le curve di capacità portante ottenute per il viadotto in esame (riportate al paragrafo 3.2), nelle seguenti tabelle si riporta le lunghezze dei pali utilizzate. Agli SLE si è verificato che il rapporto tra la resistenza laterale e il carico assiale in combinazione caratteristica risulti maggiore di 1.25, come prescritto dalla normativa ferroviaria.

SPALLE	H _{calcolo}	FONDAZIONE					L _{pali} [m]	SFORZI NEI PALI SLU		
		D _{pali}	n _{pali}	Stratig.	Liquefaz.	Scalzam.		N _{min}	Q _{d,c}	F.S.
		[m]	[m]							
S02	6.5	1.5	12	1	NO	-	34	-10602	-11928	1.13

SPALLE	H _{calcolo}	FONDAZIONE					L _{pali} [m]	SFORZI NEI PALI SLE		
		D _{pali}	n _{pali}	Stratig.	Liquefaz.	Scalzam.		N _{min}	Q _{II,k}	N _{min} /Q _{II}
		[m]	[m]							
S02	6.5	1.5	12	1	NO	-	34	-7663	-15875	2.07

SPALLE	H _{calcolo}	FONDAZIONE					L _{pali} [m]	SFORZI NEI PALI SLV		
		D _{pali}	n _{pali}	Stratig.	Liquefaz.	Scalzam.		N _{min}	Q _{d,c}	F.S.
		[m]	[m]							
S02	6.5	1.5	12	1	NO	-	34	-10927	-11928	1.09

Tabella 35 – Verifica della portanza verticale dei pali di fondazione

11.3.1 Capacità portante Pali Di Gruppo

La valutazione del carico limite verticale di una palificata è eseguito con la seguente relazione:

$$Q_{d,Gruppo} = N \cdot E \cdot Q_{d, \text{singolo palo}}$$

La resistenza a carico verticale della palificata è data dal prodotto della resistenza del palo singolo ($Q_{d, \text{singolo palo}}$) per il numero N di pali del gruppo e per il fattore E di efficienza della palificata. In particolare l'efficienza è valutata con la formulazione empirica di Converse Labarre.

Nel seguito si riportano le verifiche eseguite per le pile in esame:

PILE	Casi di calcolo	L _{pali} [m]	Q _d (palo sing.) [kN]	PORTANZA PALI DI GRUPPO								
				Diametro	interasse	n. pali x fila	m. n. fila	Φ	E efficienza	N _{max,SLU}	Q _{d Gruppo}	FS
				[m]	[m]	[-]	[-]	[°]	[-]	[kN]	[kN]	[-]
S02	6.5	34	-11928	1.5	4.5	4	3	18.43	0.71	-83034	-101601	1.22

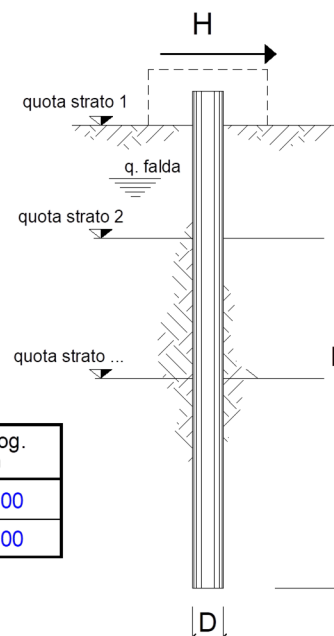
11.4 CAPACITÀ PORTANTE LATERALE DEI PALI DI FONDAZIONE

Per i pali di fondazione da realizzare nei terreni non suscettibili ai fenomeni di liquefazione, le verifiche di capacità portante laterale dei pali di fondazione vengono eseguite secondo la consolidata metodologia di Broms (1964) per terreni incoerenti sotto falda attraverso un apposito foglio di calcolo. Per tutti i pali si configura l'ipotesi di palo lungo. Le verifiche, riportate nelle pagine seguenti, risultano soddisfatte assumendo cautelativamente $\phi=35^\circ$. Le armature in testa al palo utilizzate per il calcolo del momento resistente (M_y) sono riportate al paragrafo delle verifiche strutturali dei pali di fondazione.

Per ragione di sintesi si riporta la verifica del palo maggiormente sollecitato.

opera VI13-S2

coefficienti parziali			A		M		R
Metodo di calcolo			permanenti	variabili	γ_ψ	γ_{cu}	γ_T
			γ_G	γ_Q			
SLD	A1+M1+R1	<input type="radio"/>	1.30	1.50	1.00	1.00	1.00
	A2+M1+R2	<input type="radio"/>	1.00	1.30	1.00	1.00	1.60
	A1+M1+R3	<input type="radio"/>	1.30	1.50	1.00	1.00	1.30
	SISMA	<input type="radio"/>	1.00	1.00	1.00	1.00	1.30
DM88			<input type="radio"/>	1.00	1.00	1.00	1.00
definiti dal progettista			<input checked="" type="radio"/>	1.00	1.00	1.00	1.30



n	1	2	3	4	5	7	≥ 10	T.A	prog.
ξ_3	1.70	1.65	1.60	1.55	1.50	1.45	1.40	1.00	1.00
ξ_4	1.70	1.55	1.48	1.42	1.34	1.28	1.21	1.00	1.00

strati terreno	descrizione	quote (m)	γ (kN/m ³)	γ' (kN/m ³)	Parametri medi			Parametri minimi		
					ϕ (°)	k_p	c_u (kPa)	ϕ (°)	k_p	c_u (kPa)
p.c.=strato 1	CGC1g	0.00	19	9	39	4.40		39	4.40	
<input checked="" type="checkbox"/> strato 2	CGC2	-10.00	20	10		1.00	150		1.00	150
<input checked="" type="checkbox"/> strato 3	CGC1g	-14.00	19	9	39	4.40		39	4.40	
<input type="checkbox"/> strato 4	SSR	-24.00	19.5	9.5	35	3.69		35	3.69	
<input type="checkbox"/> strato 5						1.00			1.00	
<input type="checkbox"/> strato 6						1.00			1.00	

Quota falda -3 (m)

Diametro del palo D 1.50 (m)

Lunghezza del palo L 36.00 (m)

Momento di plasticizzazione palo M_y 10469.39 (kNm)

Step di calcolo 0.01 (m)

- palo impedito di ruotare
 palo libero

Calcolo
(ctrl+r)

	<u>H medio</u>			<u>H minimo</u>		
Palo lungo	5586.5	(kN)		5586.5	(kN)	
Palo intermedio	37341.3	(kN)		37341.3	(kN)	
Palo corto	134749.6	(kN)		134749.6	(kN)	
	H_{med} 5586.5	(kN)	Palo lungo	H_{min} 5586.5	(kN)	Palo lungo
	H_k = Min(H_{med}/ξ₃ ; R_{min}/ξ₄)			3286.20	(kN)	
	H_d = H_k/γ_T			2527.85	(kN)	
	Carico Assiale Permanente (G):		G =	1977	(kN)	
	Carico Assiale variabile (Q):		Q =		(kN)	
	F_d = G · γ_G + Q · γ_Q =			1977.00	(kN)	
	FS = H_d / F_d =			1.28		
	FS (gruppo) =		1.02			

Si fa notare che per tener conto degli effetti di gruppo è stato considerato un coefficiente riduttivo del carico limite pari a 0,8 (coefficiente di gruppo).

11.5 VALUTAZIONE DEI CEDIMENTI IN FONDAZIONE

Per la valutazione dei cedimenti in fondazione si rimanda alla relazione geotecnica di calcolo per le fondazioni dei viadotti.

12 APPOGGI E GIUNTI

12.1 APPOGGI

Gli apparecchi d'appoggio fissi devono essere dimensionati con il criterio della GR (NTC p.to 7.9.5.4.1). Essi devono quindi essere in grado di trasmettere, mantenendo la piena funzionalità, forze orizzontali tali da produrre, nella o nelle sezioni critiche alla base della pila, un momento flettente pari a: $\gamma_{Rd} M_{Rd}$, dove M_{Rd} è il momento resistente della o delle sezioni critiche. Questa verifica può essere eseguita in modo indipendente per le due direzioni dell'azione sismica. Le forze determinate come sopra possono risultare superiori a quelle che si ottengono dall'analisi ponendo $q = 1$; in tal caso per il progetto degli apparecchi è consentito adottare queste ultime.

Di seguito si riportano quindi i massimi scarichi verticali ed orizzontali agenti sugli appoggi in condizioni statiche (SLU e SLE) e sismiche (SLV). Lo sforzo verticale è ricavato direttamente dagli scarichi derivanti dal modello di impalcato.

VI13 - Impalcato a cassoncini in c.a.p. 25.00 m						
FISSI		UNIDIR.			MULTI	GIUNTI
V. (kN)	H. (kN)	V. (kN)	H. (kN)	SCORRIMENTO	V. (kN)	ESCURSIONE
4500	4800	4500	4650	dlong .±110	4500	elong .±100

CORSA APPARECCHI D'APPOGGIO MOBILI (δ_{App})

$$\delta_{App} = \pm \max [E_L/2 + E_L/8; E_L+15\text{mm}] = \pm$$

96.3

dove l'escursione longitudinale del giunto E_L è definita al paragrafo successivo.

12.2 ESCURSIONE DEI GIUNTI

In accordo con il p.to 2.5.2.1.5.1 del RFI DTC SICS PS MA IFS 001 A, per ponti e viadotti costituiti da una serie di travi semplicemente appoggiate di uguale luce, l'entità dell'escursione totale dei giunti e degli apparecchi di appoggio può essere valutata come segue:

$$E_L = k_1 \cdot (E_1 + E_2 + E_3) = k_1 \cdot (2D_t + 4d_{Ed} \cdot k_2 + 2d_{eg})$$

dove:

- E_1 è lo spostamento dovuto alla variazione termica uniforme;
- E_2 è lo spostamento dovuto alla risposta della struttura all'azione sismica;
- E_3 è lo spostamento dovuto all'azione sismica fra le fondazioni non collegate;
- $k_1 = 0.45$ è un coefficiente che tiene conto della non contemporaneità dei valori massimi corrispondenti a ciascun evento singolo;
- $k_2 = 0.55$ è un coefficiente legato alla probabilità di moto in controfase di due pile adiacenti;
- d_{Ed} è lo spostamento relativo totale tra le parti, pari allo spostamento d_E prodotto dall'azione sismica di progetto, calcolato come indicato nel paragrafo 7.3.3.3 del D.M. 14/01/2008: $d_E = \pm \mu_d \cdot d_{Ee}$

dove d_{Ee} è lo spostamento corrispondente al periodo di vibrazione della pila ricavato dallo spettro elastico in termini di spostamento e $\mu_D = q$ per $T_1 \geq T_C$ oppure $\mu_D = 1+(q-1) \cdot T_C/T_1$ per $T_1 < T_C$ e con la limitazione $\mu_D \leq 5q-4$ (q è il fattore di struttura).

- d_{eg} è lo spostamento relativo tra le parti dovuto agli spostamenti relativi del terreno, da valutare secondo il paragrafo 3.2.3.3 del D.M. 14/01/2008. Il valore di spostamento assoluto orizzontale massimo del suolo (d_g) di un punto può calcolarsi secondo l'espressione seguente:

$$d_g = 0.025 \cdot a_g \cdot S \cdot T_C T_D$$

dove a_g , S , T_C , T_D sono le grandezze definite al paragrafo 6.7. Nel caso in esame si suppone in via cautelativa che tale spostamento assoluto coincida con lo spostamento relativo tra due punti, ossia si sta valutando lo spostamento relativo della fondazione in esame rispetto ad un punto fermo.

Di seguito è riportato il calcolo per la pila di altezza maggiore:

Calcolo escursione longitudinale dei giunti													
Azione termica				Azione sismica					Azione sismica in fondazione		Escursione giunti		Limitazioni Normative
L	ΔT	D_t	E_1	T_1	μ_d	d_E	k_2	E_2	d_g	E_3	k_1	E_L	$E_L = \max(E_0 + E_i)$
[mm]	[°]	[mm]	[mm]	[s]	[-]	[mm]	[-]	[mm]	[mm]	[mm]	[-]	[mm]	[mm]
25000	22.5	5.625	11.25	0.000	0.00	0.0	0.55	0.0	77.0	154.1	0.45	74	154.1

Nota: Nel caso specifico lo spostamento d_{Ed} coincide con il valore dello spostamento elastico calcolato in base allo schema strutturale di mensola con incastro alla base per effetto dell'azione sismica di progetto nell'ipotesi $q=1$: $d_{Ed} = (FH^3/3EI) \cdot \mu_d$

VI13 - Ponte dal km 21+573,500 a km 21+589,500:
Relazione di Spalla S2

COMMESSA	LOTTO	CODIFICA	DOCUMENTO	REV.	FOGLIO
LI02	02D78	CL	VI1304002	B	57 di 58

Per garantire infine un minimo di escursione in funzione della sismicità del sito, il valore EL dovrà essere assunto non minore di:

$$\text{Per valori di } a_g(\text{SLV}) < 0.25g : E_L \geq \max(0.10m; 2.3 \cdot L/1000 + 0.073) = E_{L\text{min Non sismica}} \quad 130.5 \text{ mm}$$

$$\text{Per valori di } a_g(\text{SLV}) \geq 0.25g : E_L \geq \max(0.15m; 3.3 \cdot L/1000 + 0.1) = E_{L\text{min sismica}} \quad 182.5 \text{ mm}$$

ove: L= Lunghezza del ponte (m)

Nel caso in esame: Classe zona: Non Sismica

In definitiva:

$$E_L = 154.1 \text{ mm}$$

Pertanto:

ESCURSIONE DEI GIUNTI (δ_{Giu})

$$\delta_{GIU} = \pm E_L/2 + 10\text{mm} = \pm 87.0 \text{ mm}$$

AMPIEZZA DEI VARCHI (V)

$$V \geq E_L/2 + V_0 = 97.0 \text{ mm}$$

ove: $V_0 = 20 \text{ mm}$



LINEA PESCARA - BARI
RADDOPPIO TRATTA FERROVIARIA TERMOLI - LESINA
LOTTI 2 e 3 – RADDOPPIO TERMOLI - RIPALTA

VI13 - Ponte dal km 21+573,500 a km 21+589,500:
Relazione di Spalla S2

COMMESSA	LOTTO	CODIFICA	DOCUMENTO	REV.	FOGLIO
LI02	02D78	CL	VI1304002	B	58 di 58

13 CONCLUSIONI

I risultati ottenuti nelle analisi e nelle verifiche, mostrano che il dimensionamento delle strutture è stato effettuato nel rispetto dei requisiti di resistenza richiesti all'opera.